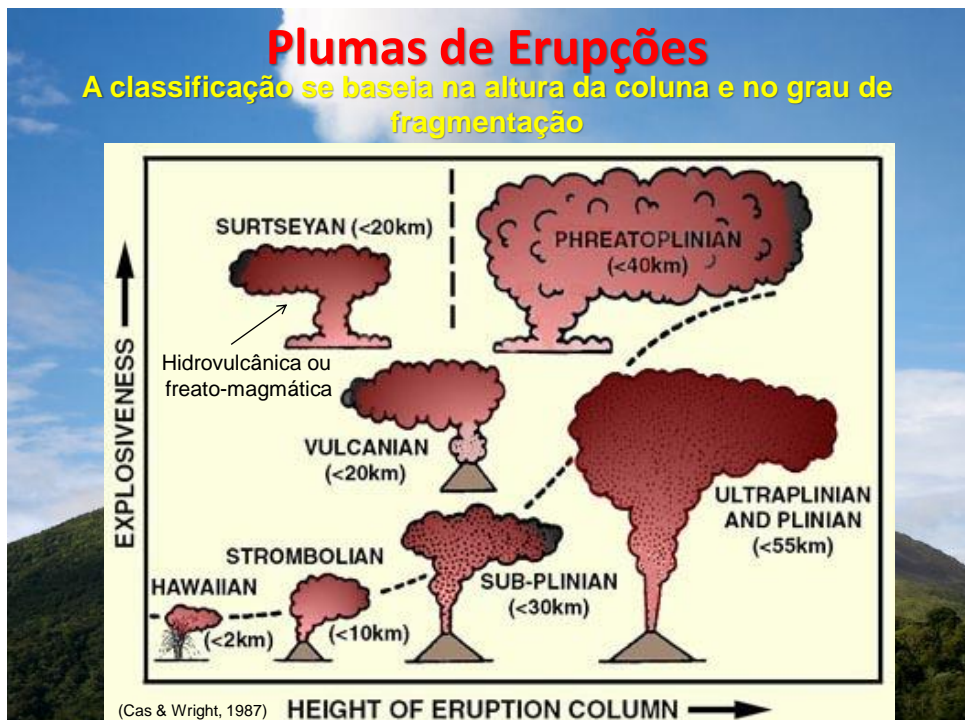
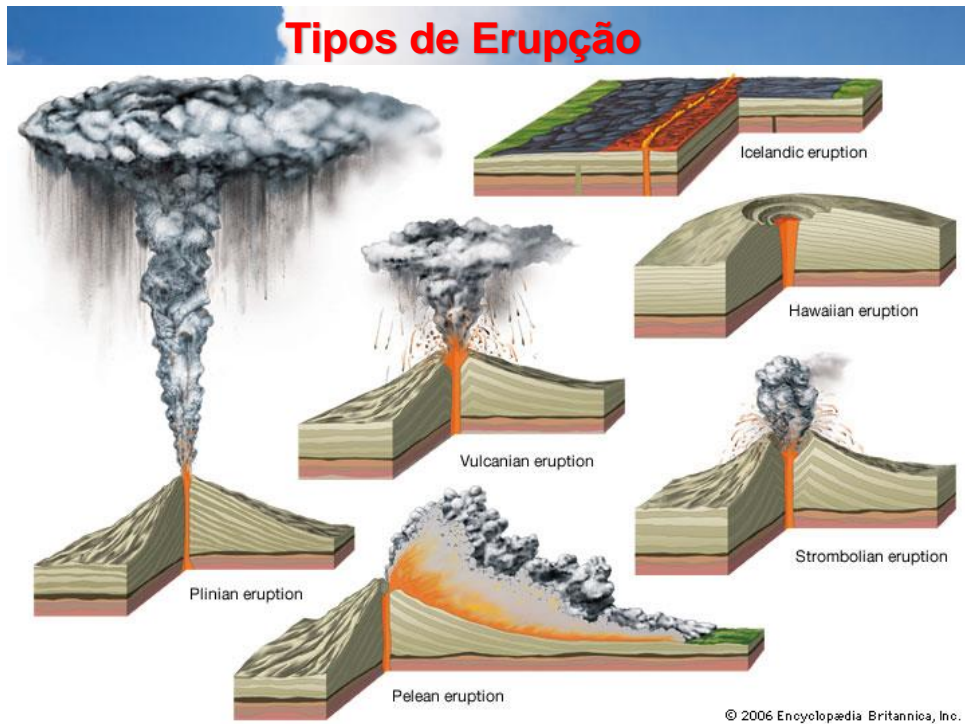
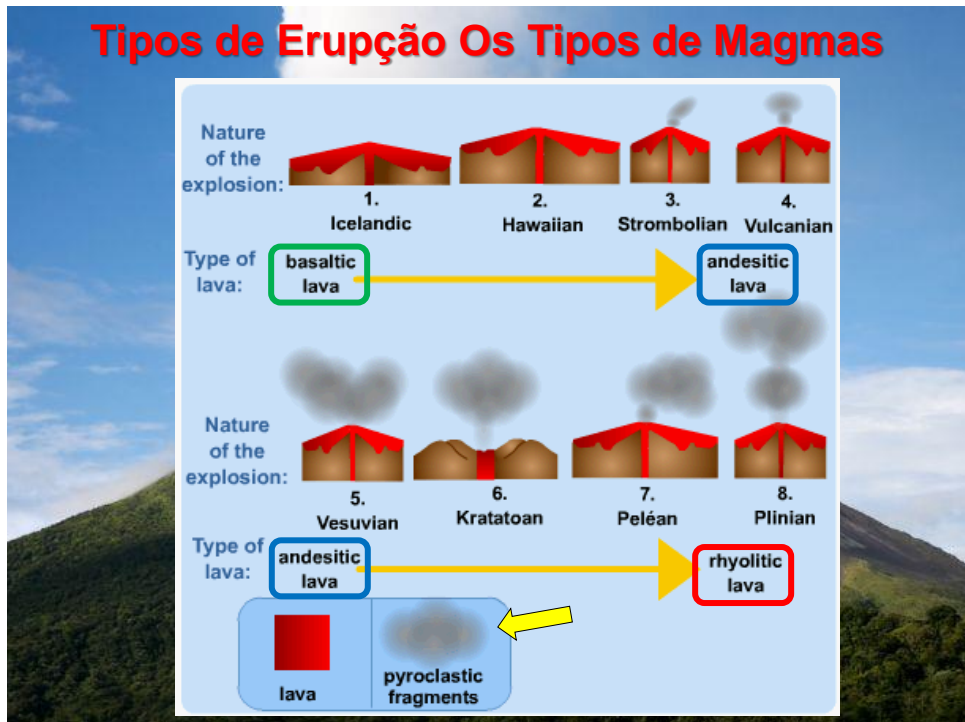


## PLANO DA AULA

- Vulcanismo explosivo, caldeiras e ignimbritos
- Tipos de depósitos vulcânicos (ignimbritos, surge, de queda, etc).



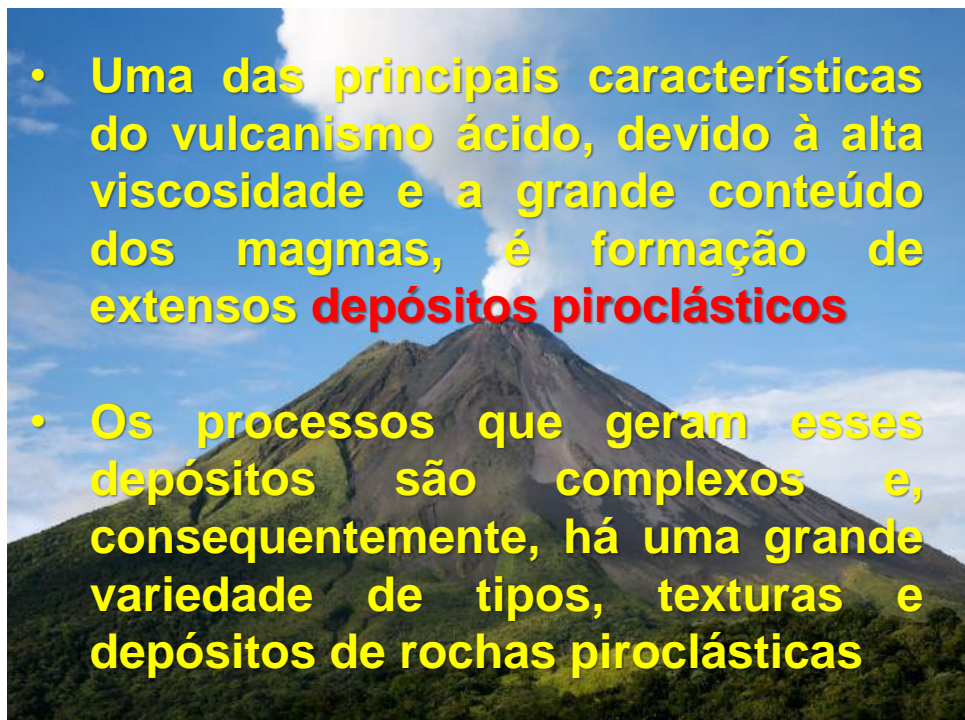






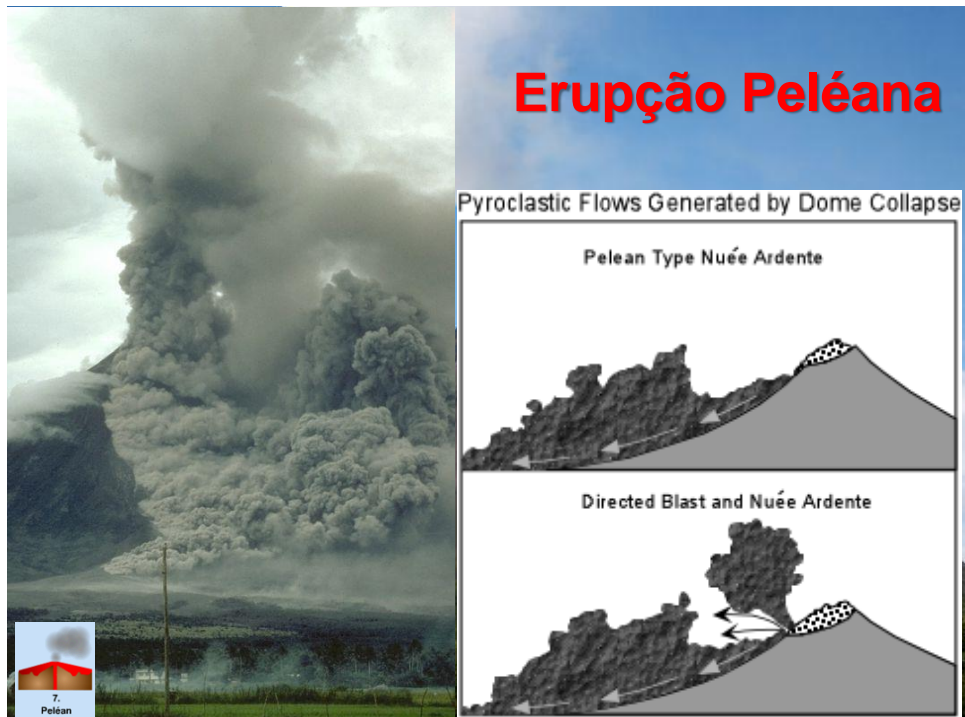


<https://www.presstv.com/detail/2017/01/29/508192/lava-flowvideo-shows-lava-flow-hawaii-kilauea-volcano>



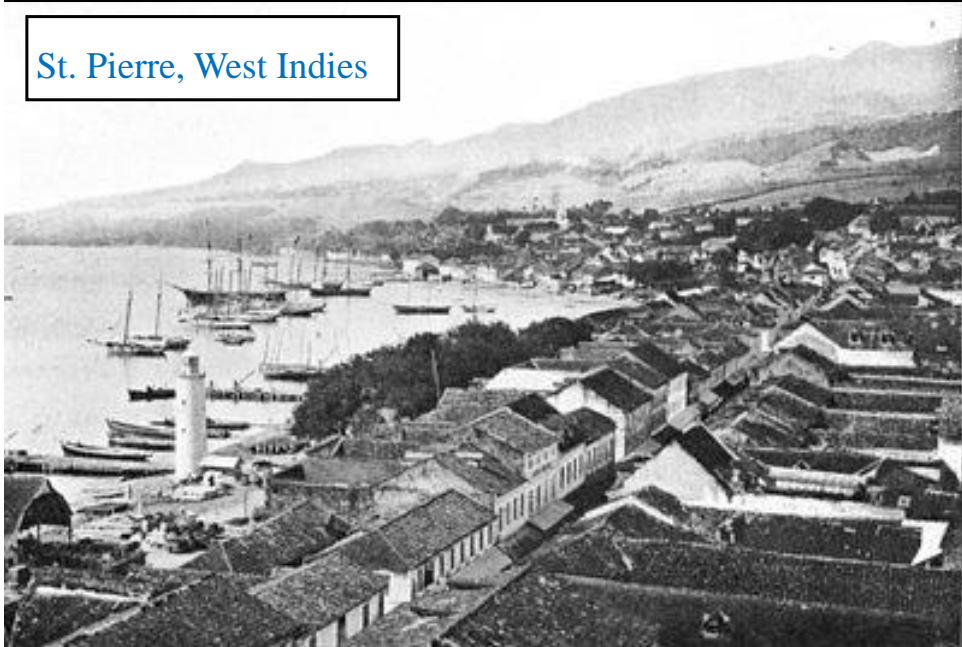






## Antes da erupção de 1902 do Mt. Pelée

St. Pierre, West Indies



## Depois da erupção de 1902



Copyright © 2005 Pearson Prentice Hall, Inc.



# Erupções Plinianas

- Erupções Sub-Plinianas (plumas com < 30 km de altura – Depósitos mais ricos em cristais) a Ultra-Plinianas (coluna de erupção > 50 km de altura – Depósitos mais ricos em clastos, mas espessos e mais grossos).
- Típicas de magmas andesíticos a riolíticos em zonas de subdução.



MeMoVolc workshop: The dynamics of volcanic explosive eruptions

Geneva, 29-31 January 2014

## Main features of Plinian-type eruptions

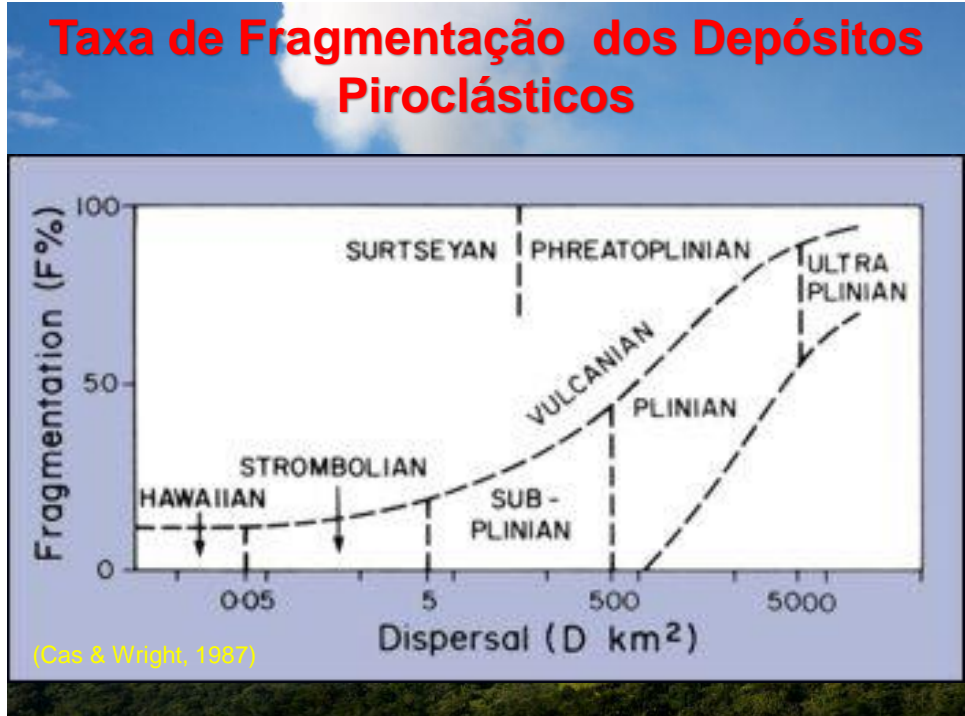
Type of eruption	Subplinian	Plinian	ignimbritic
Magnitude (kg)	$\approx 10^{11}$	$10^{11}-10^{12}$	$>10^{12}$
Intensity (kg/s)	$\approx 10^6$	$10^6-10^8$	$>10^8$
Column height (km)	<20	20–35	$>35$
Thickness half-distance ( $b_1$ , km)	0.5–4	2–10	$>10$
Clast half-distance ( $b_c$ , km)	1–3	3–8	8–15
Main phases	Unsteady sustained, convective column	Steady sustained convective column	Sustained fountaining
Associated eruptive styles	Surge generation, dome extrusion	Partial or total column collapse	Convective column with increasing flow rate
Dominant fallout deposits	From thinly stratified to massive	Massive to variously graded	Generally reversely graded
Dominant flow deposits	Surges and small sized pumice and scoria flows	Pumice and ash flows	High and low-grade ignimbrites
Fall/flow vol. ratio	>1	>1	$\ll 1$

Cioni (2014)



CORDON CAULLE 2011 (CHILE)

Cioni (2014)



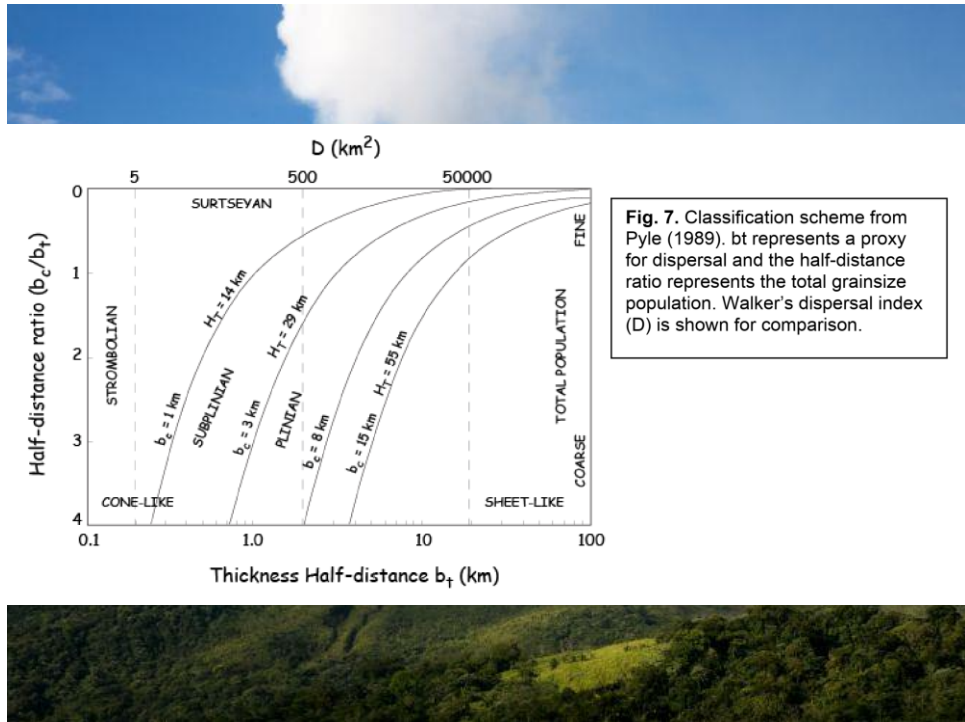
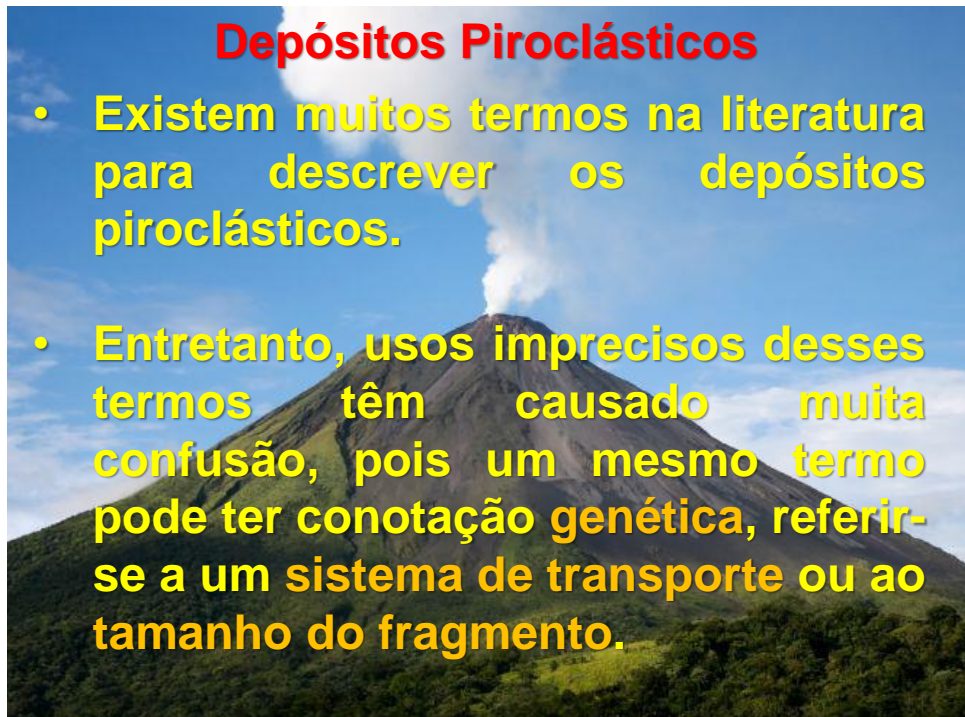
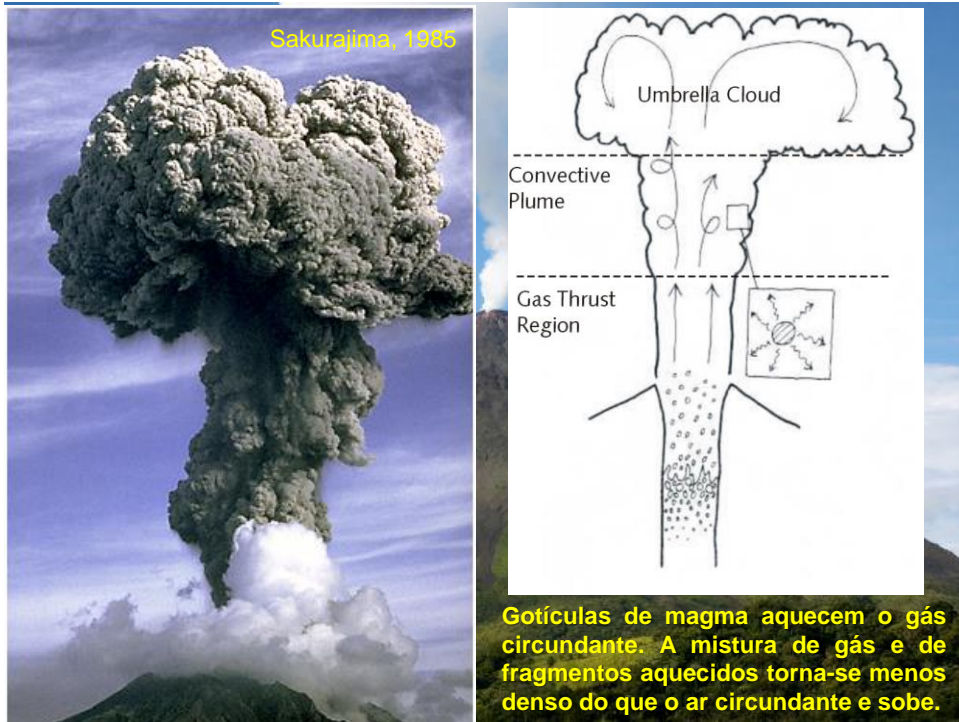
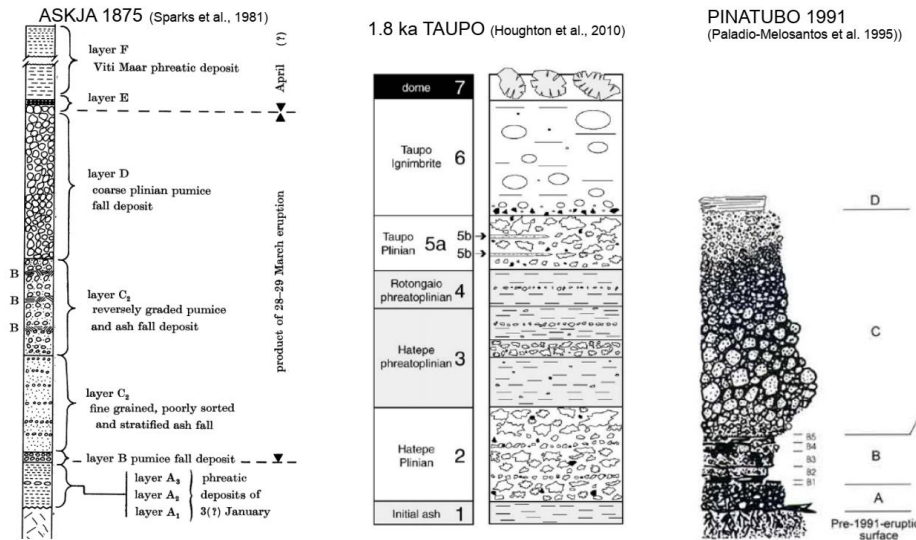


Fig. 7. Classification scheme from Pyle (1989).  $b_t$  represents a proxy for dispersal and the half-distance ratio represents the total grainsize population. Walker's dispersal index ( $D$ ) is shown for comparison.





## PLINIAN ERUPTIONS: complex sequences



Cioni (2014)



**Cas & Wright (1987) classificam os depósitos modernos de duas formas:**

**(1) Classificação genética** → é em parte deduzida de sua litologia, mas considera também a geometria e as relações de campo.

**(2) Classificação litológica** → considera a granulação e sua distribuição geral no depósito, os tipos de fragmentos constituintes grau e tipo de soldagem.





**Componentes dos Depósitos Piroclásticos**  
(Wright et al., 1980, Cas & Wright, 1987)

TIPO DE FLUXO OU ONDA	COMPONENTES ESSENCIAIS		OUTROS COMPONENTES
	VESICULAR	NÃO VESICULAR	
fluxo ou queda de púmice	púmice	cristais	líticos acessórios e acidentais
fluxo ou queda de escória	escória	cristais	líticos conatos, acessórios e acidentais
fluxo ou queda de blocos e cinzas	clastos juvenis pouco a moderadamente vesiculados	líticos conatos e cristais	líticos acidentais

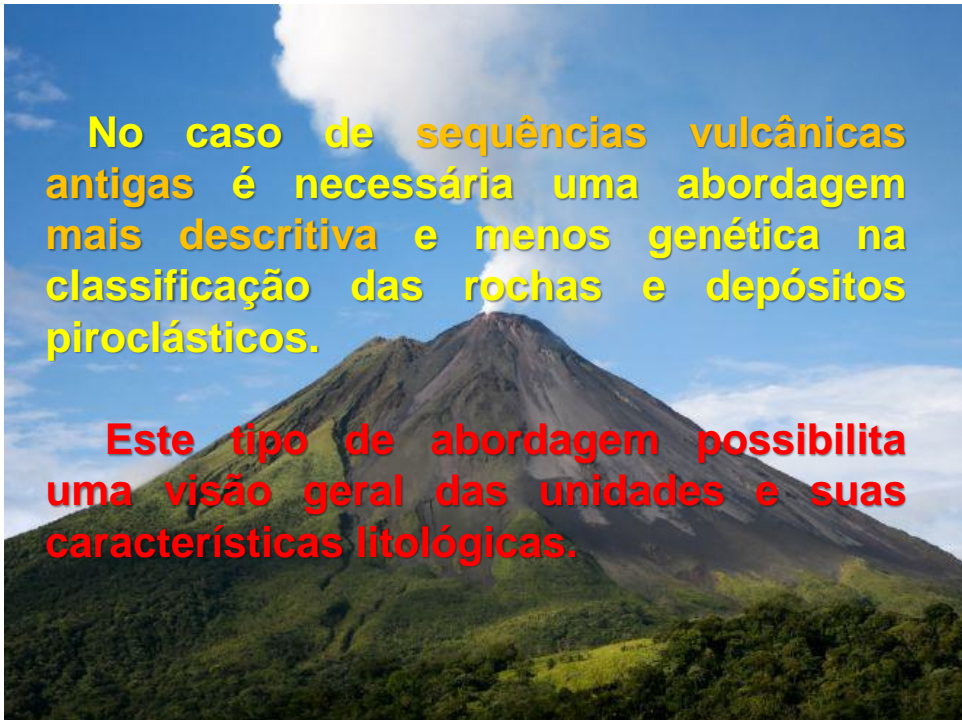
TAMANHO PREDOMINANTE	TIPO	COMPONENTES ESSENCIAIS		OUTROS COMPONENTES
		VESICULAR	NÃO VESICULAR	
> 64mm	aglomerado brecha	púmice ou escória	líticos conatos ou acessórios ou ambos	líticos conatos e acessórios
> 2mm	depósito de lápili	púmice ou escória	líticos conatos ou acessórios ou ambos	cristais
< 2mm	depósito de cinzas	púmice ou escória	cristais e/ou líticos conatos e/ou acessórios	

## Classificação de Rochas Piroclásticas

A maioria das classificações de rochas e depósitos piroclásticos utiliza a nomenclatura genética que representa os mecanismos de fragmentação, transporte e deposição.

Essa classificação não pode ser seguramente utilizada para depósitos antigos, devido à falta de exposições contínuas, ausência de contatos, intemperismo, alteração, erosão, metamorfismo, deformação, etc.

A nomenclatura recomendada pelo IUGS (Schmid, 1981), tem como objetivo a classificação de seções vulcânicas modernas. Para Cas & Wright (1987) essa classificação tem aplicação apenas para amostras de mão e em descrições petrográficas, e não acrescenta significativas mudanças na classificação de Fisher (1966).



No caso de sequências vulcânicas antigas é necessária uma abordagem mais descritiva e menos genética na classificação das rochas e depósitos piroclásticos.

Este tipo de abordagem possibilita uma visão geral das unidades e suas características litológicas.



## DEPÓSITOS PIROCLÁSTICOS

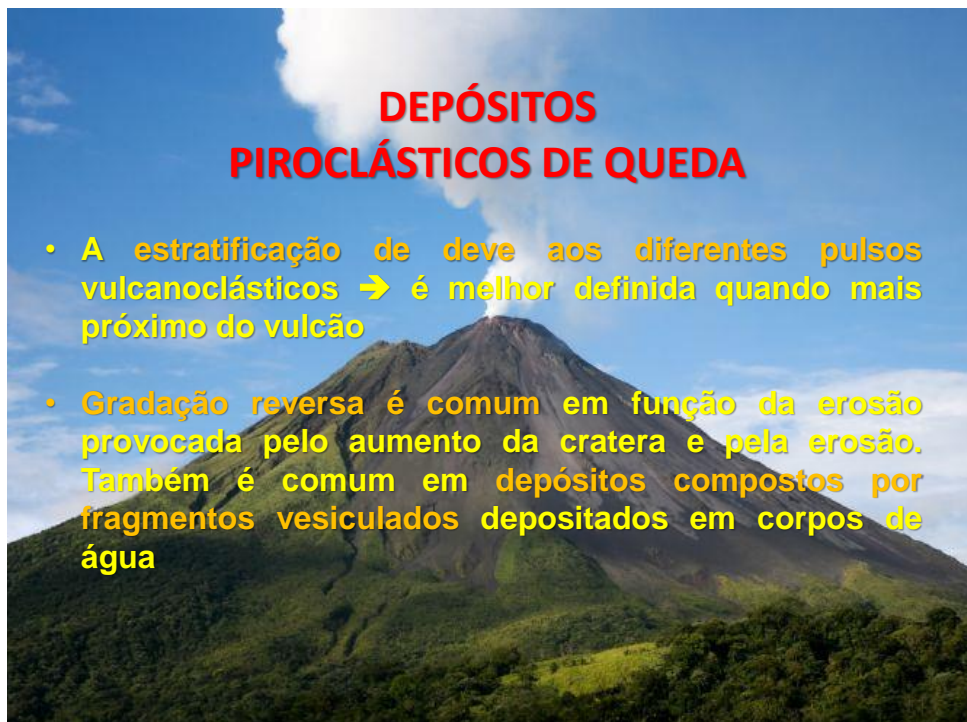
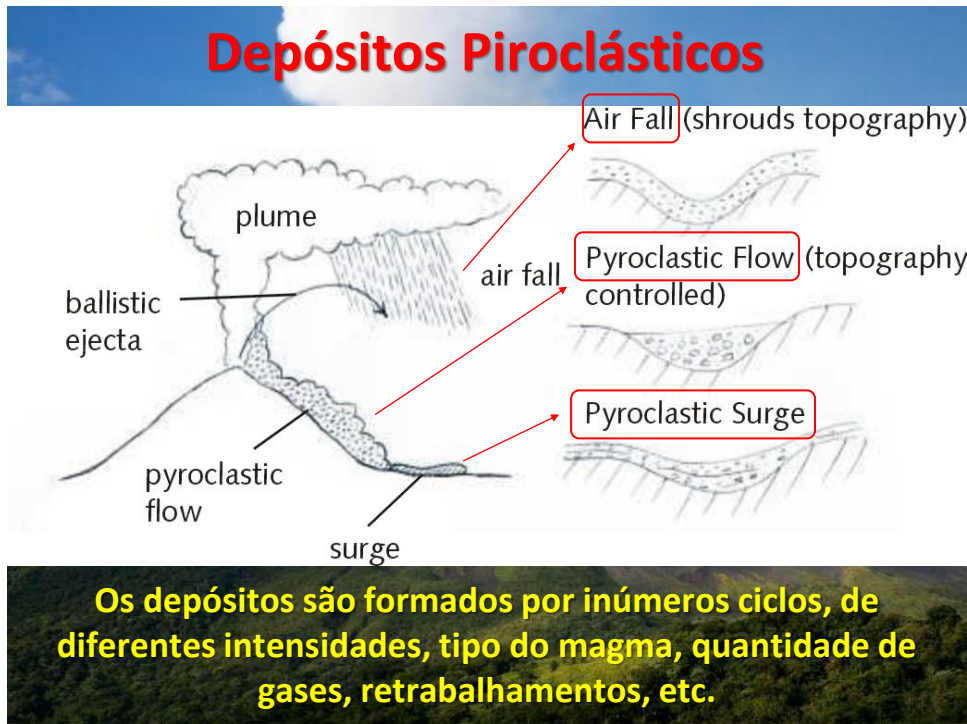
A observação de diversos tipos de erupção e de regimes deposicionais recentes possibilitou a caracterização de diferentes tipos de depósitos piroclásticos.

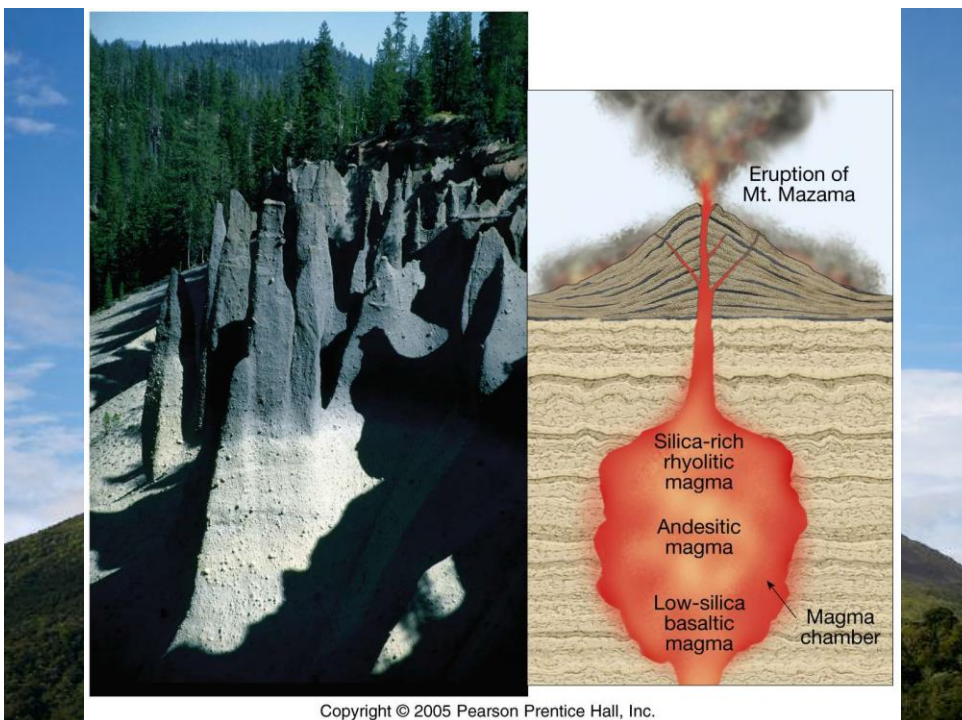
Fisher & Schmincke (1984) dividem os depósitos, com bases genéticas, em dois tipos:

- Depósitos de fluxo piroclástico (*pyroclastic flow deposits*)
- Depósitos de onda piroclástica (*pyroclastic surge deposits*)

Cas & Wright (1987) e Hibbard (1995) acrescentam mais um tipo:

- Depósitos de queda piroclástica (*pyroclastic fall deposits*)







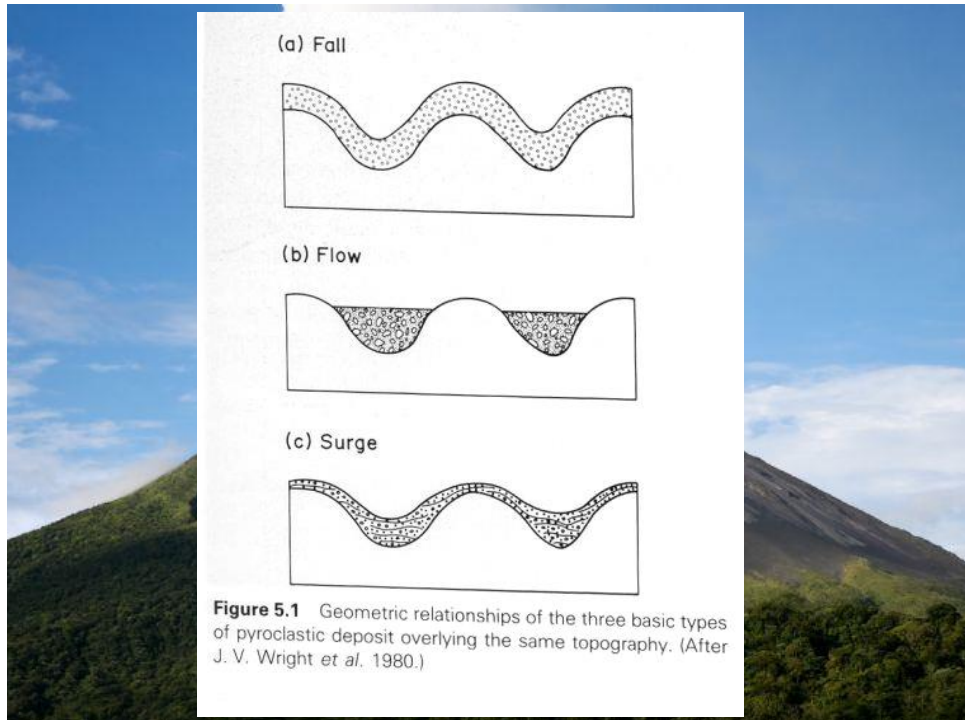
## A) DEPÓSITOS DE FLUXO PIROCLÁSTICO (*pyroclastic flow deposits*)

São formados pela descida gravitacional, em grande velocidade e junto à superfície da estrutura vulcânica, de material piroclástico constituído por alta concentração de partículas sólidas dispersas em gás incandescente e, em algumas situações, parcialmente fluidizado.

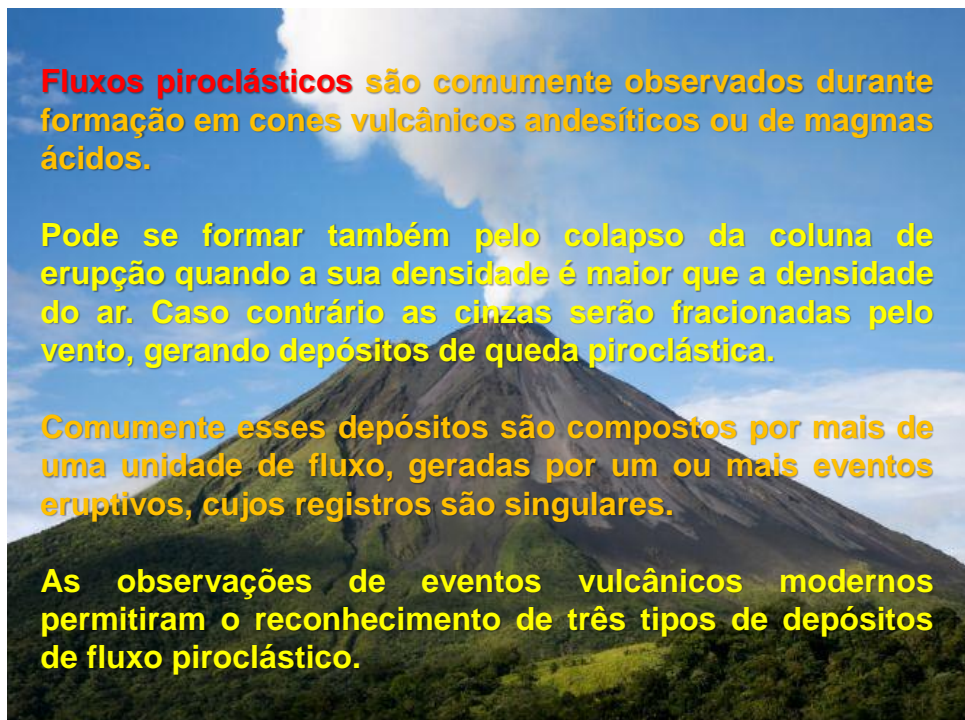
Estes depósitos têm estrutura macia e pobre seleção, mas a superposição de vários fluxos pode produzir estratificações.

São formados por corrida de fragmentos de lava gerados pela quebra ou brechação de um domo instável ascendente ou pela corrida de lava devido à inclinação da vertente de um vulcão.

Outros termos utilizados são *lava debris flow*, *hot avalanche deposits* e *nuées ardentes*.



**Figure 5.1** Geometric relationships of the three basic types of pyroclastic deposit overlying the same topography. (After J. V. Wright et al. 1980.)





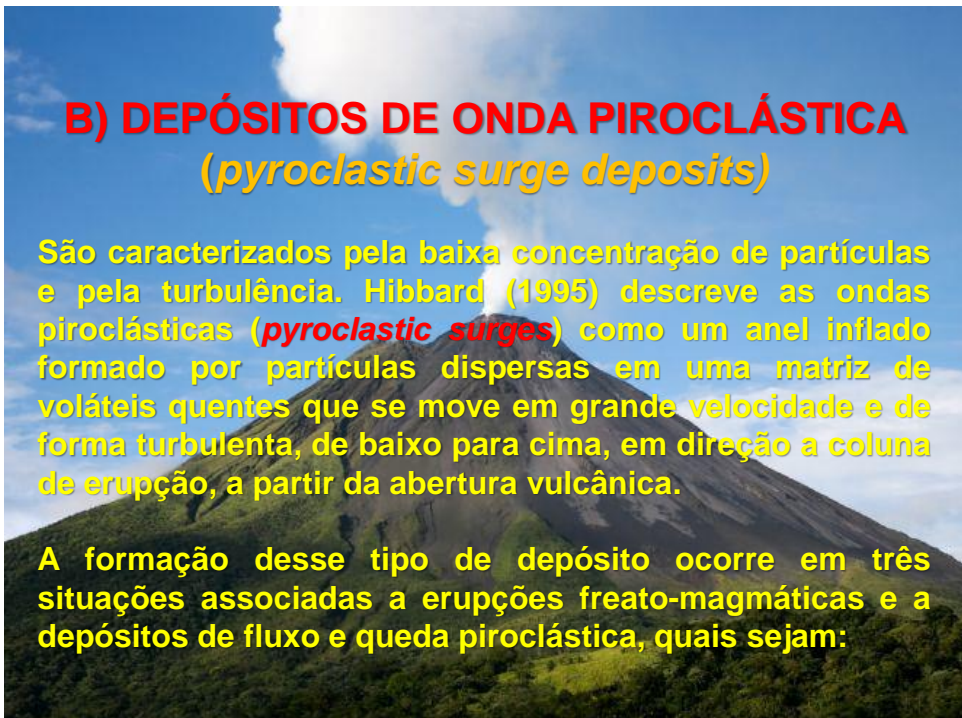
## A1) DEPÓSITOS DE FLUXO DE BLOCOS E CINZAS (*Block-and ash-flow deposits*)

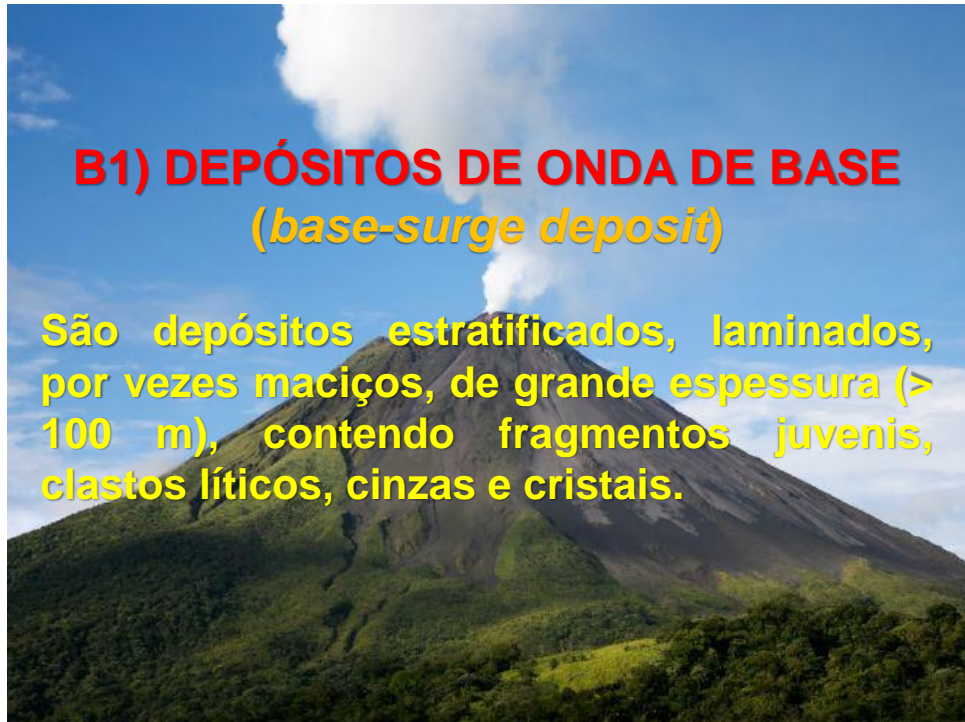
São topograficamente controlados, mal selecionados, com matriz de cinzas e blocos de fragmentos líticos conatos não vesiculados, com dimensões que chegam a ser superiores a 5 m. Depósitos dessa natureza são compostos apenas por um litotípico.



## A2) DEPÓSITOS DE FLUXO DE ESCÓRIA (*Scoria-flow deposits*)

São controlados pela topografia, mal selecionada, com quantidades variáveis de cinzas de composição basáltica a andesítica, e clastos de *lapilli* vesiculados e podem conter fragmentos líticos conatos não vesiculados.





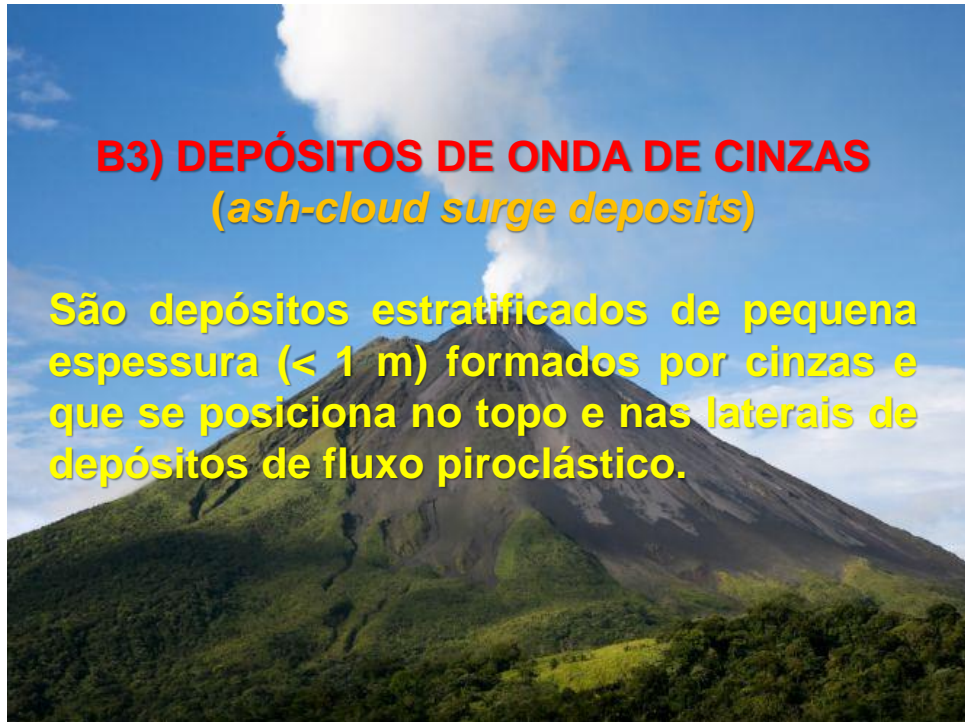
## B1) DEPÓSITOS DE ONDA DE BASE (base-surge deposit)

São depósitos estratificados, laminados, por vezes maciços, de grande espessura ( $> 100$  m), contendo fragmentos juvenis, clastos líticos, cinzas e cristais.



## B2) DEPÓSITOS DE ONDA TERRESTRE (ground-surge deposits)

São depósitos estratificados de pequena espessura ( $< 1$  m) formados por partículas mais densas que os constituintes do anterior.



### B3) DEPÓSITOS DE ONDA DE CINZAS (*ash-cloud surge deposits*)

São depósitos estratificados de pequena espessura (< 1 m) formados por cinzas e que se posiciona no topo e nas laterais de depósitos de fluxo piroclástico.



### C) DEPÓSITOS DE QUEDA PIROCLÁSTICA (*pyroclastic fall deposits*)

São formados por materiais ejetados de colunas de erupção formadas por nuvens aquecidas de tephra e gases.

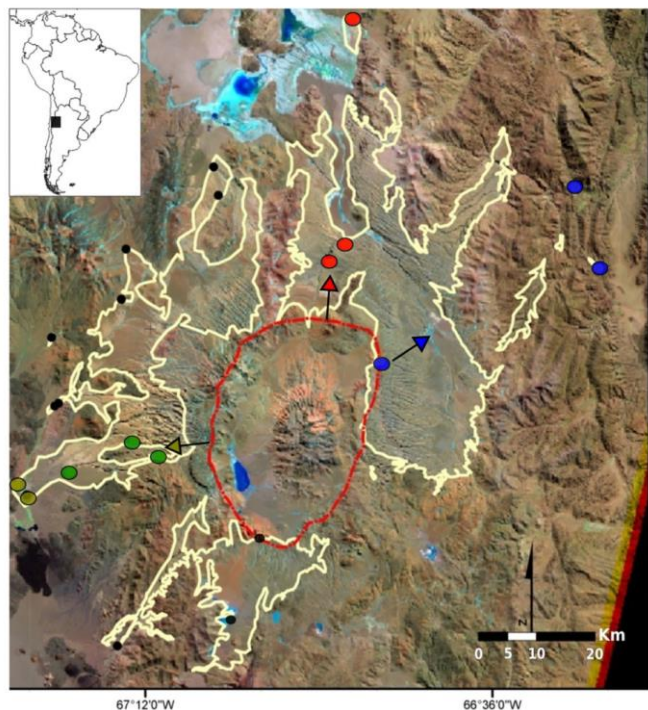
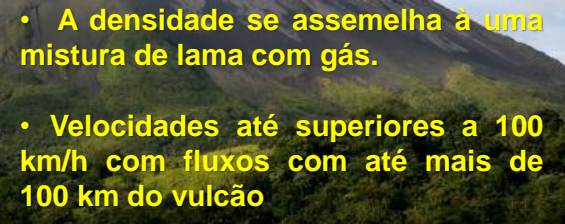
A geometria e o tamanho dos fragmentos refletem a altura da coluna de erupção, além da velocidade e direção dos ventos.

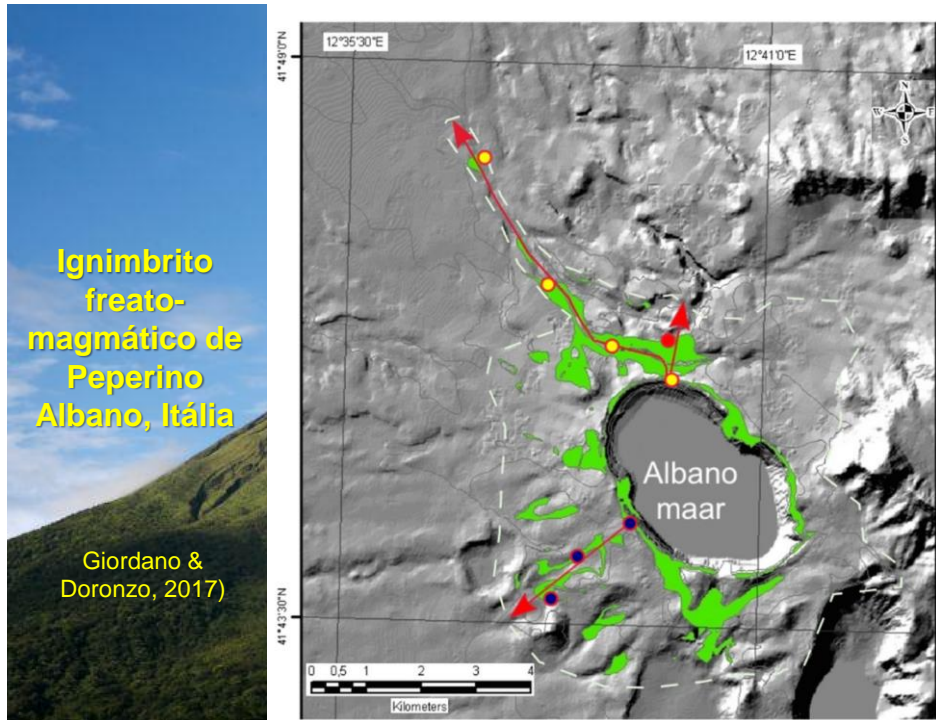
Os grandes fragmentos, chamados de **clastos balísticos** (*ballistic clasts*), não são afetados por ventos e normalmente seguem trajetórias balísticas, concentrando-se próximo a abertura.

## FLUXOS PIROCLÁSTICOS



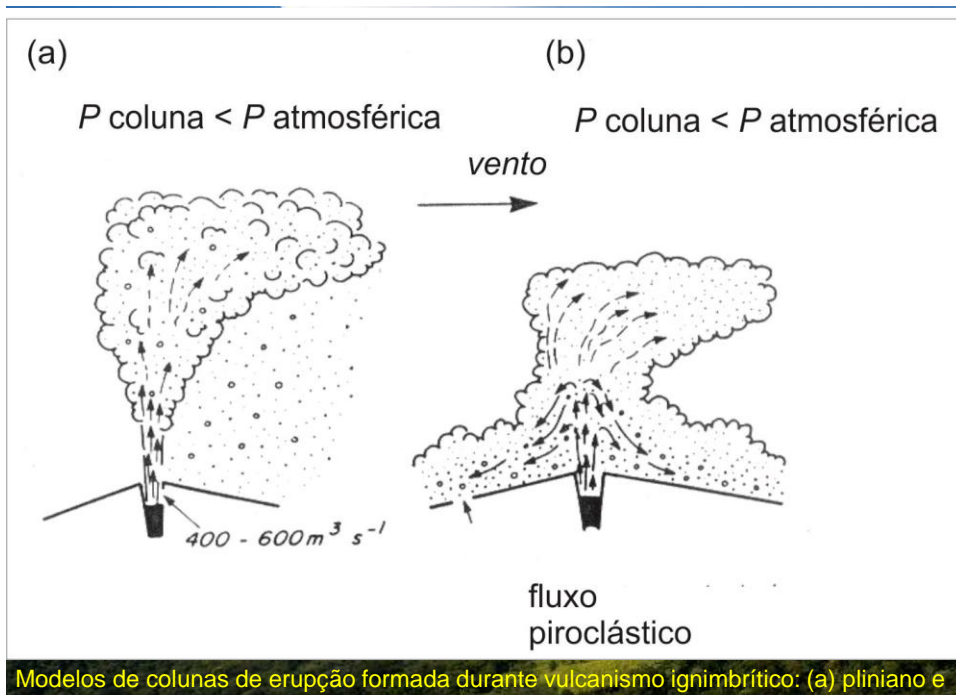
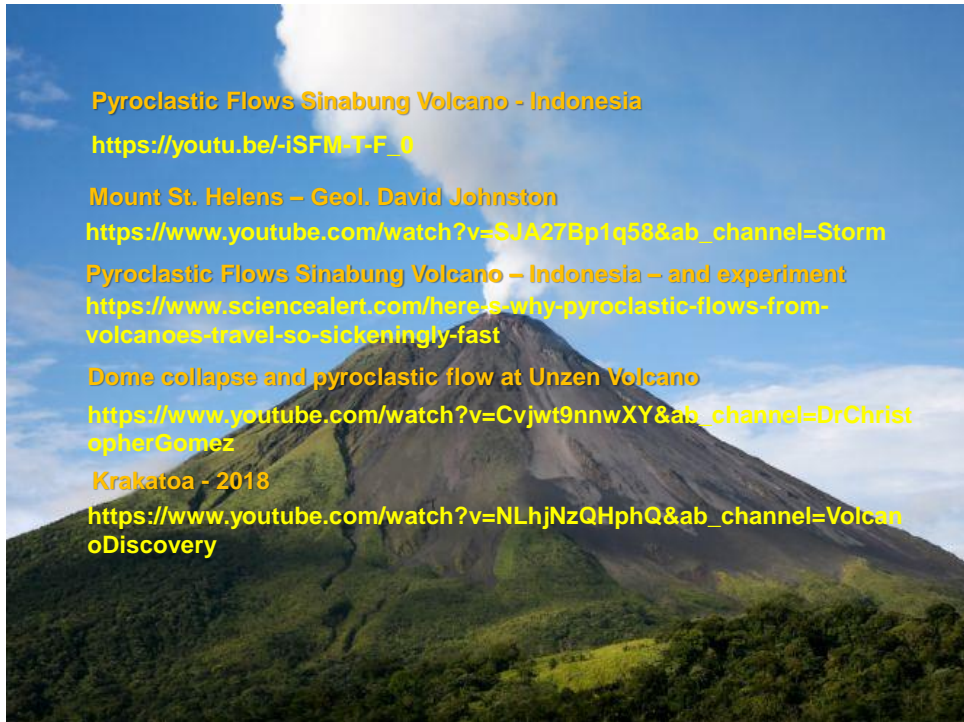
- São fluxos superficiais dirigidos pela gravidade que descem pelas encostas dos vulcões, geralmente em vales.
- São compostos por detritos que viajam numa suspensão de sólidos aquecidos ( $> 300$  até  $> 800$  °C) e gases com alta densidade de partículas.
- A densidade se assemelha à uma mistura de lama com gás.
- Velocidades até superiores a 100 km/h com fluxos com até mais de 100 km do vulcão



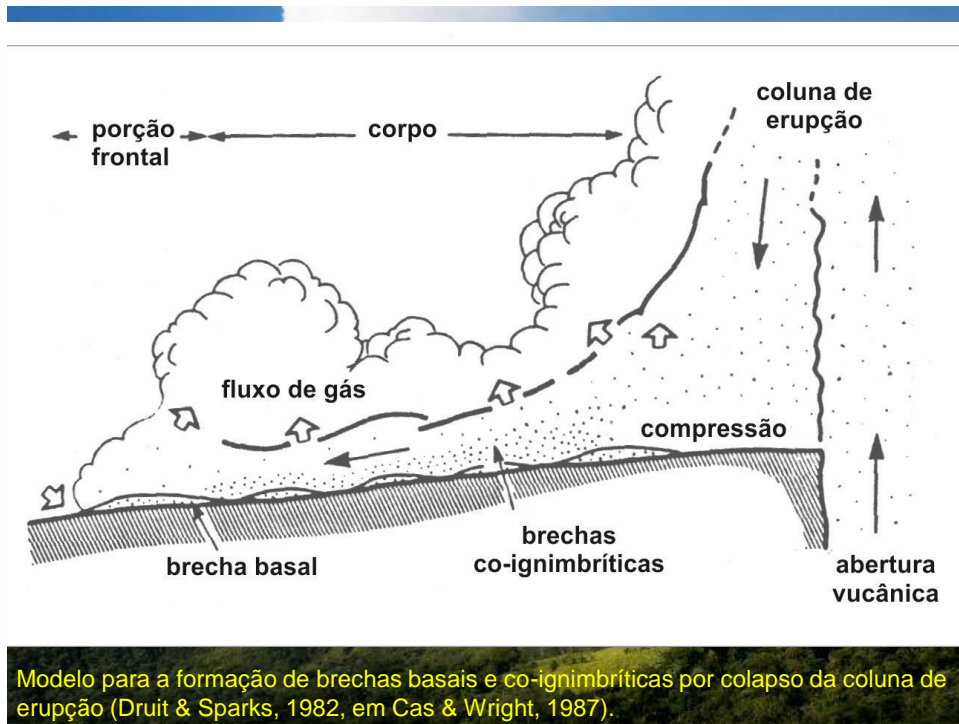


Pyroclastic flow during August 7, 1980 Mount St. Helens eruption. The view is from Johnston Ridge, located 8 km (5 mi) north of Mount St. Helens.





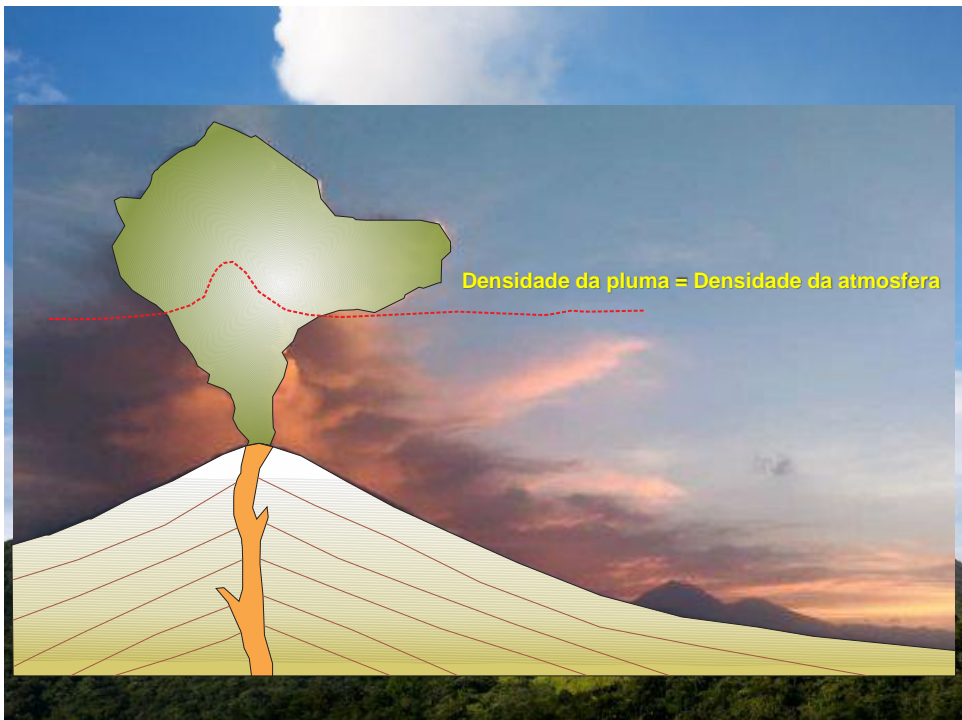
Modelos de colunas de erupção formada durante vulcanismo ignimbórico: (a) pliniano e (b) formador de ignimbrito (Cas & Wright, 1987)



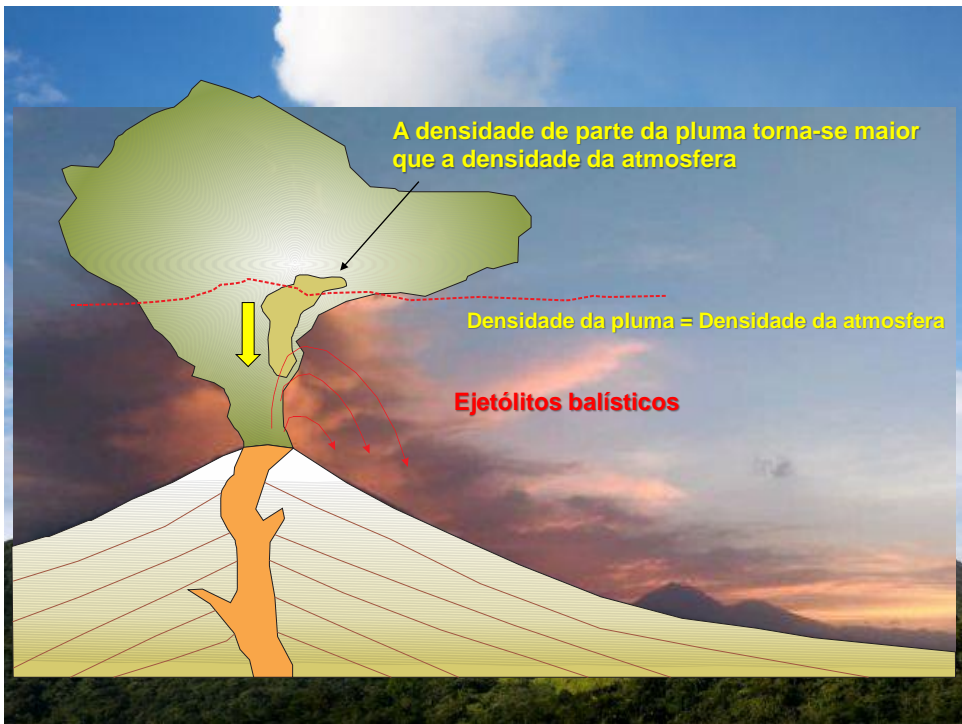
Modelo para a formação de brechas basais e co-ignimbriticas por colapso da coluna de erupção (Druitt & Sparks, 1982, em Cas & Wright, 1987).

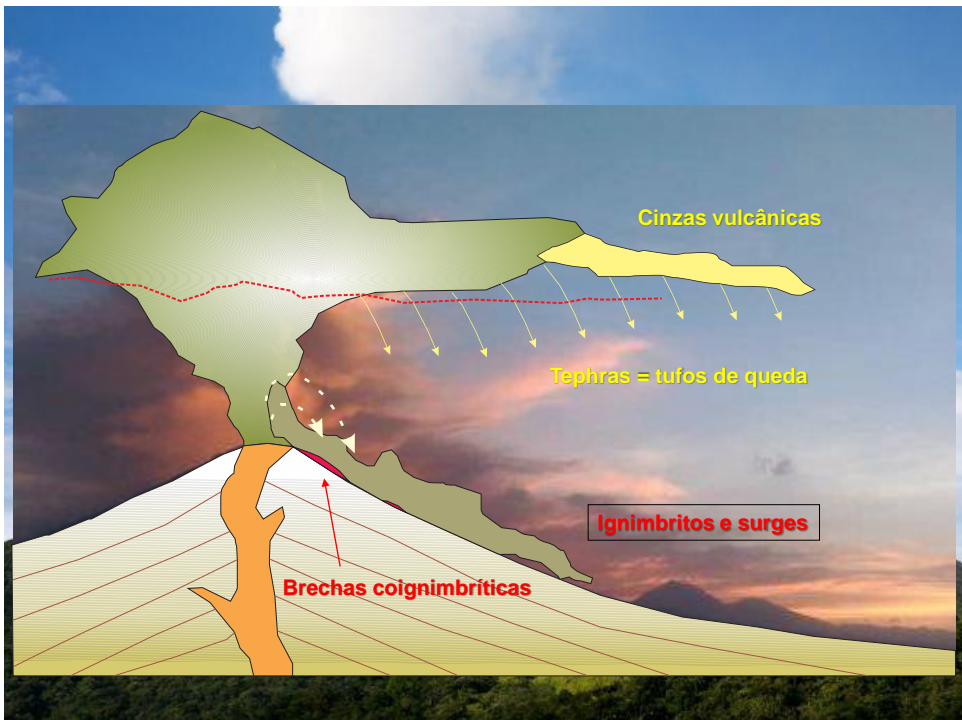


## FLUXOS PIROCLÁSTICOS

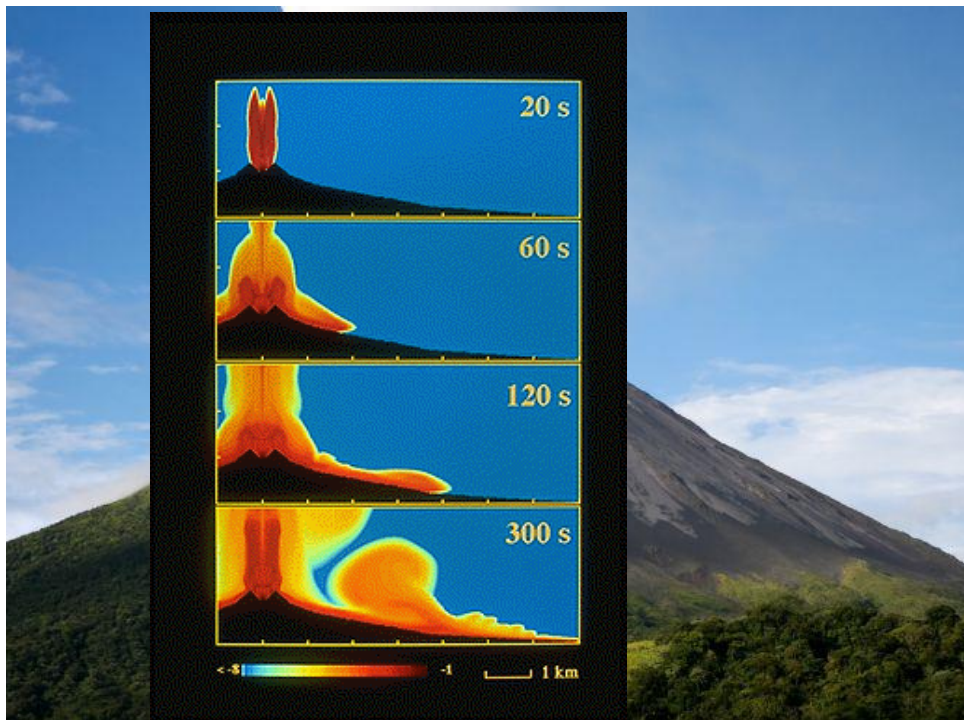










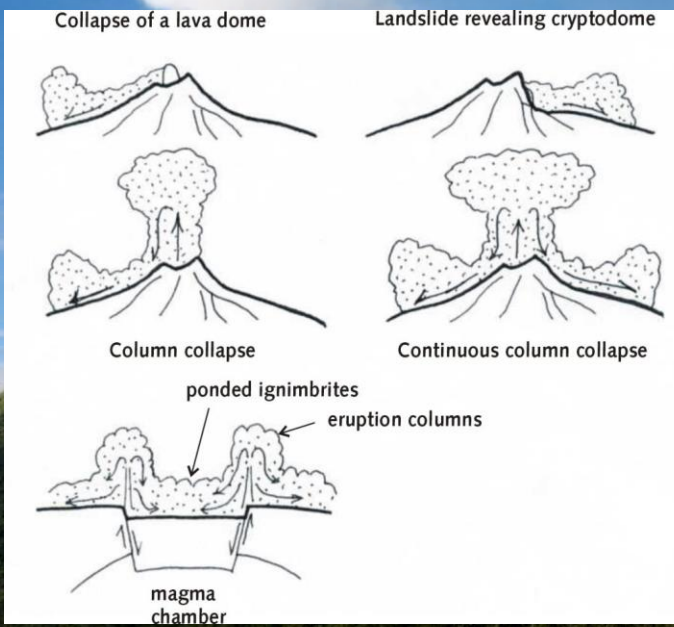


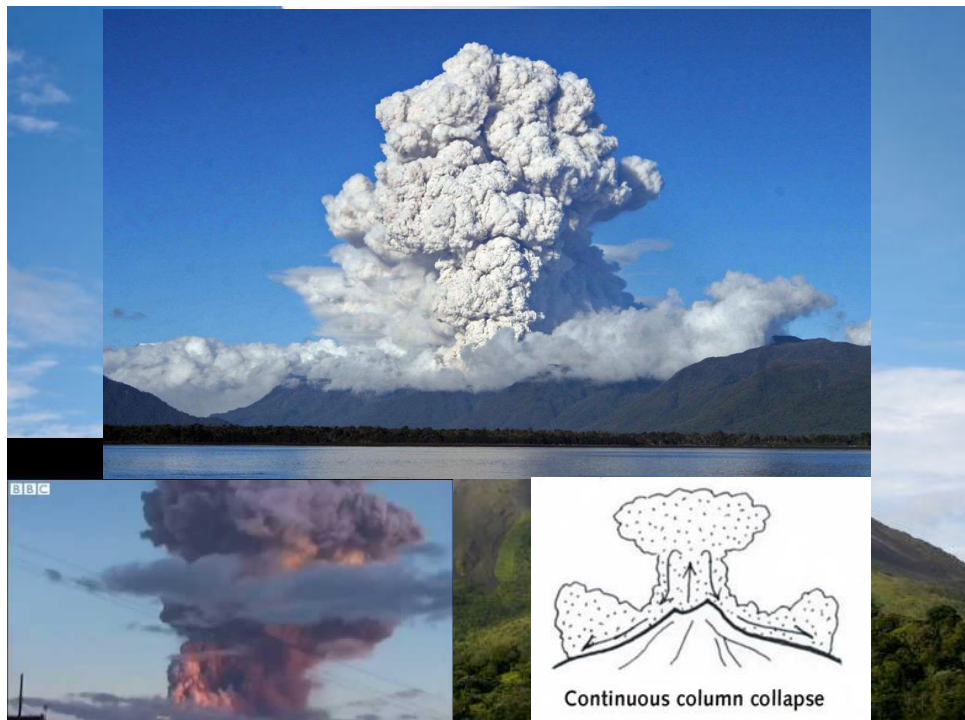
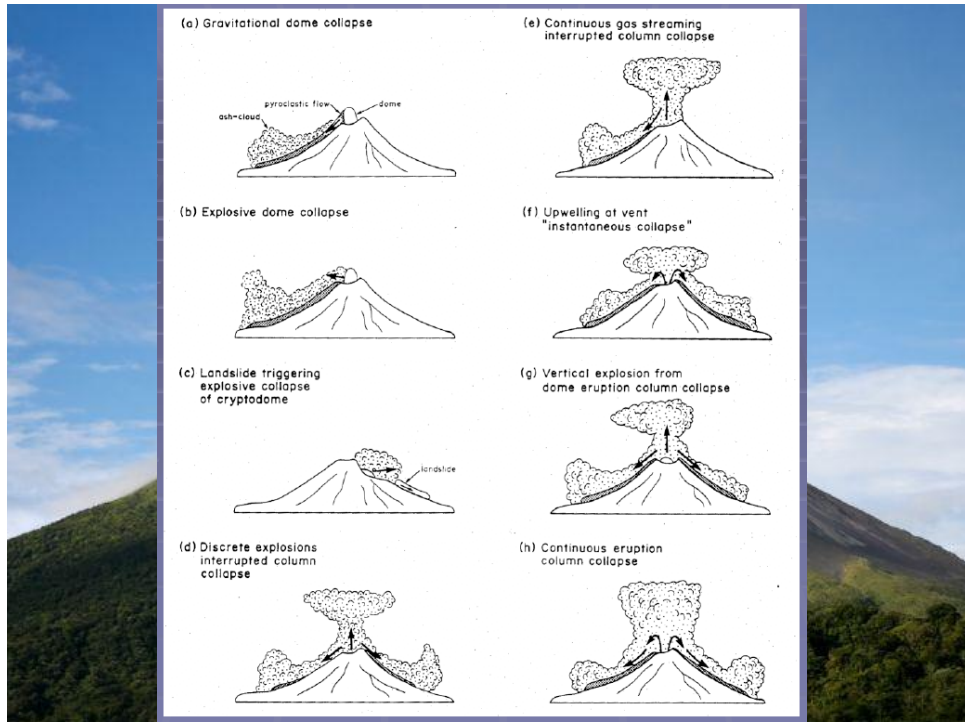
## O que provoca dos fluxos piroclásticos?

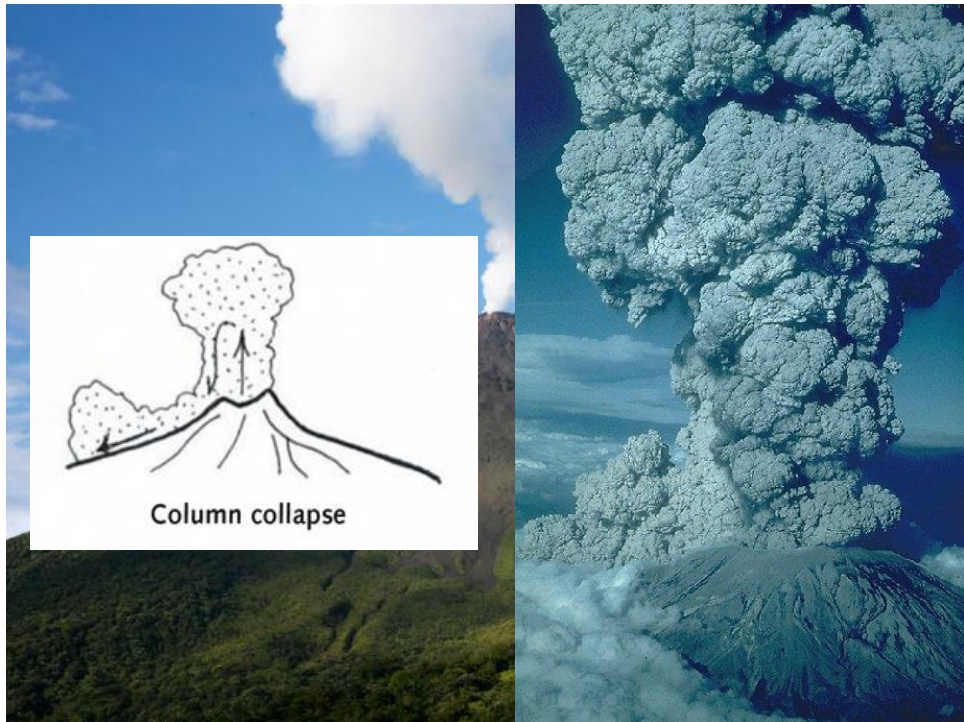
- Colunas de erupção de grande altura
- Efervescência intensa para fora da cratera
- Ruptura de um domo quente



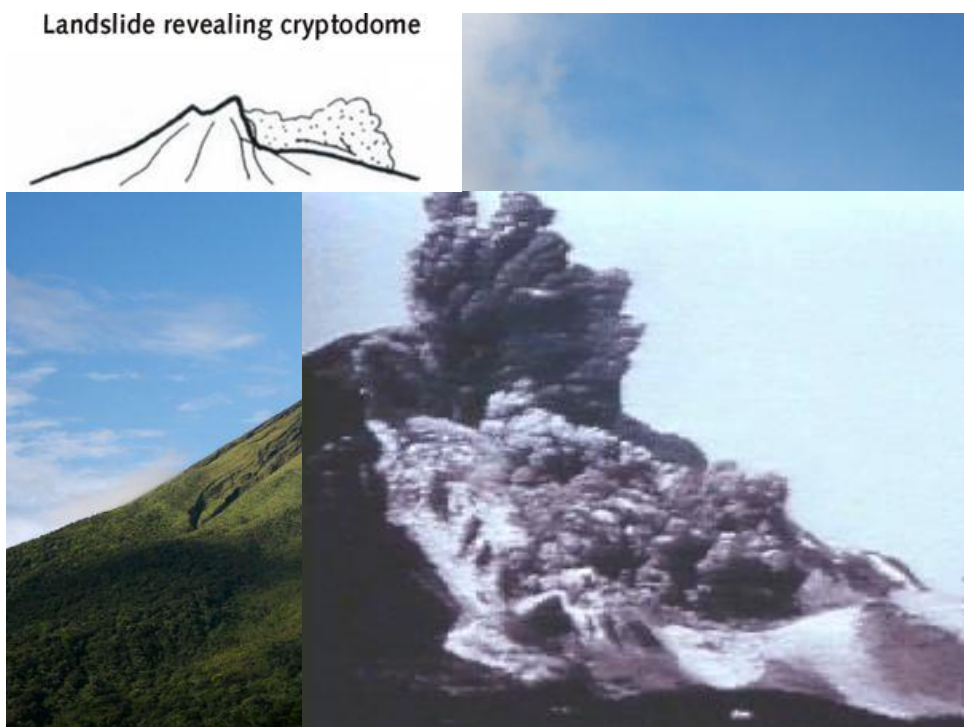
## Fluxos Piroclásticos

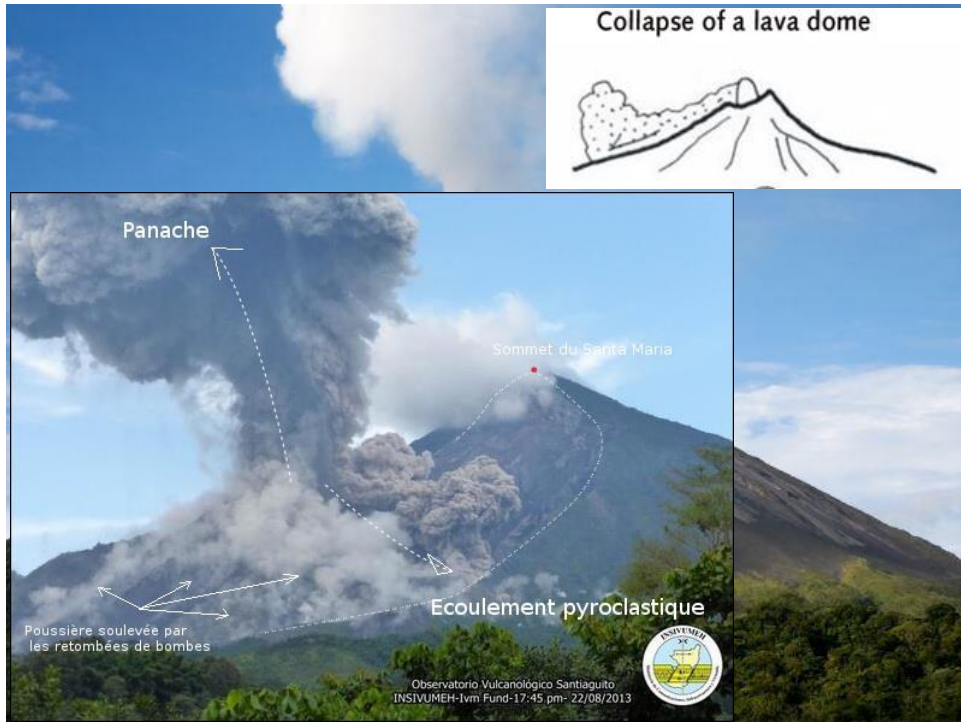


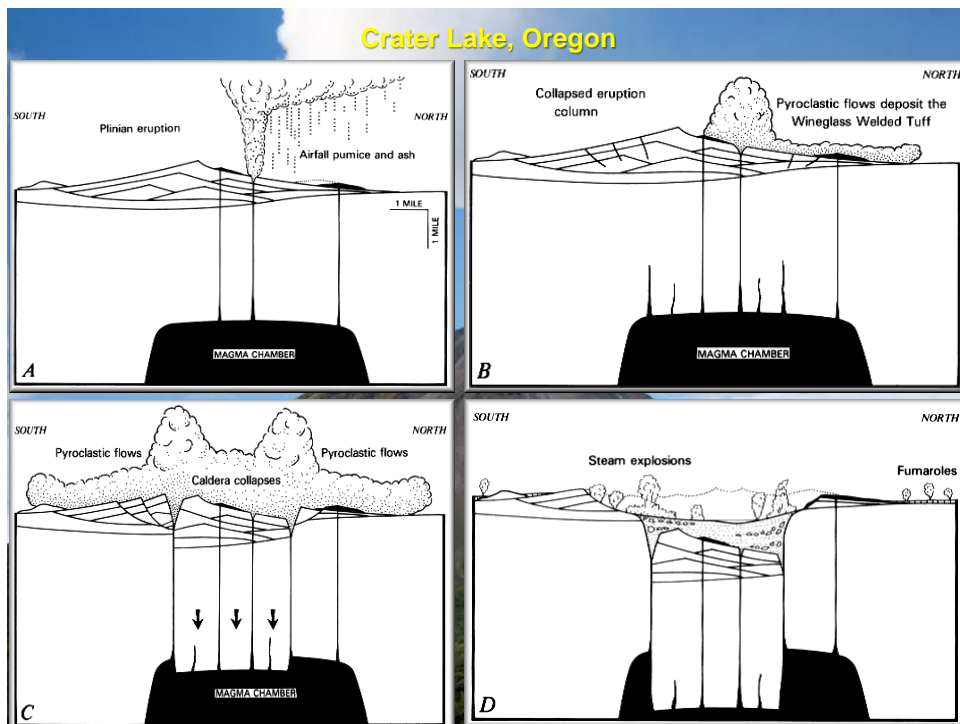


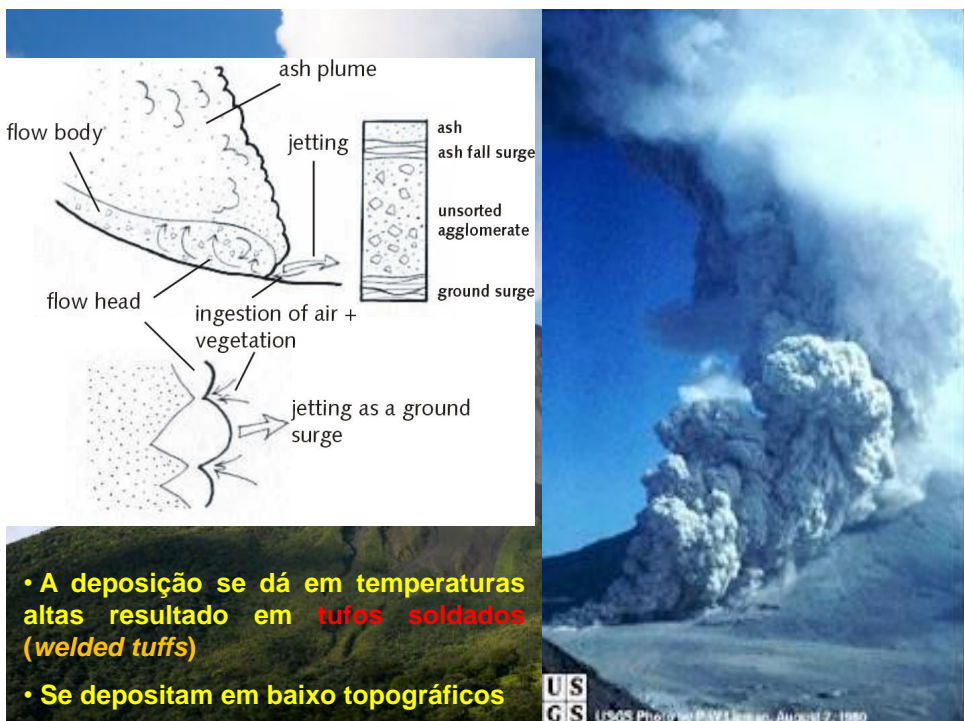


Landslide revealing cryptodome







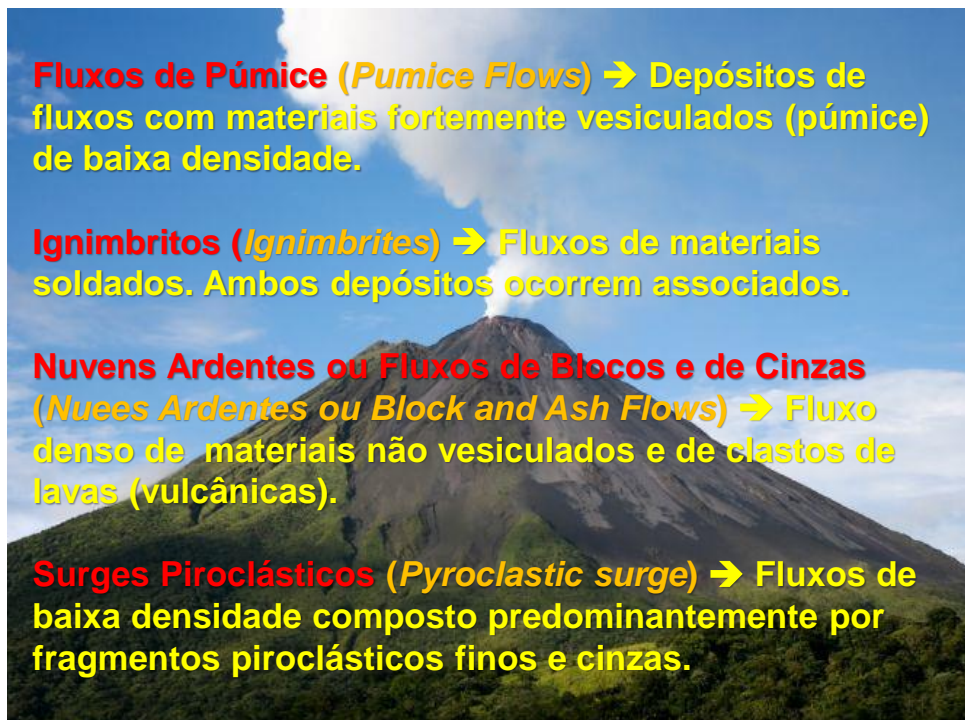
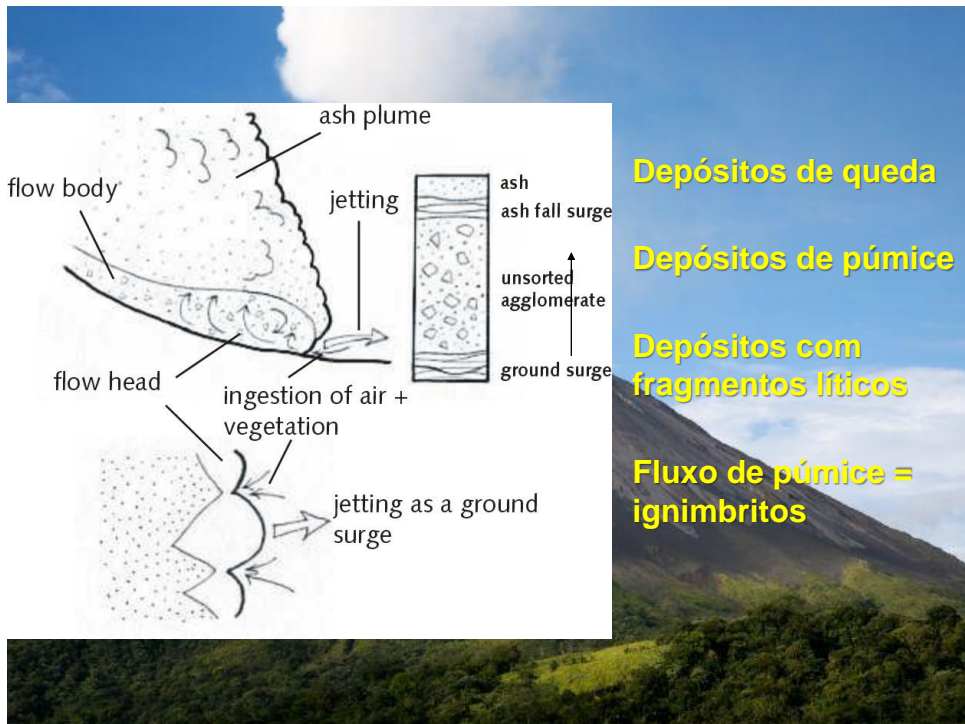


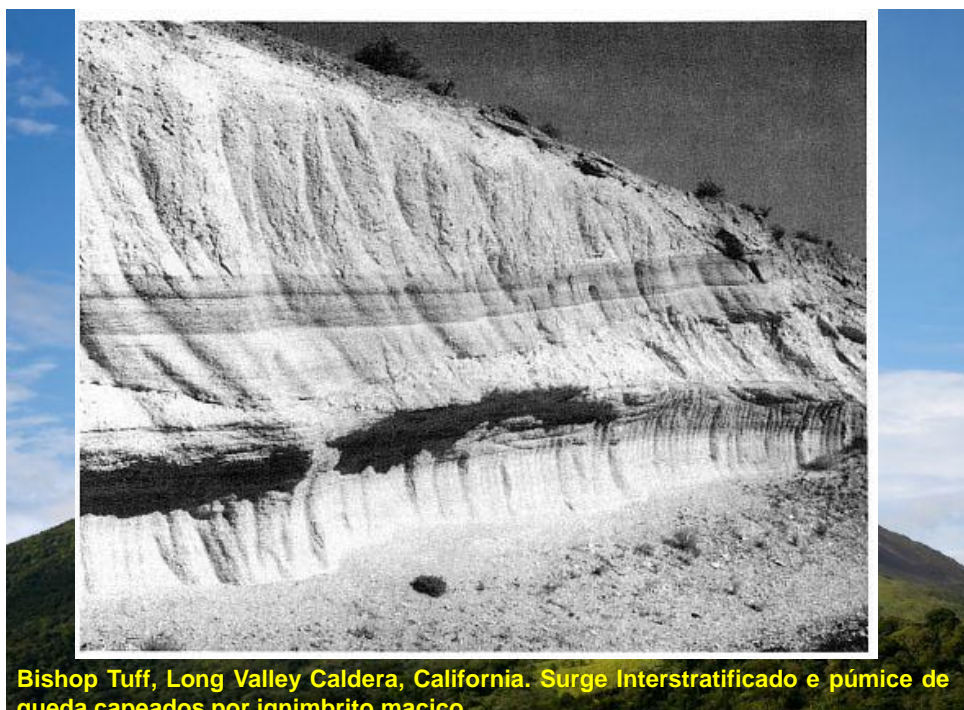
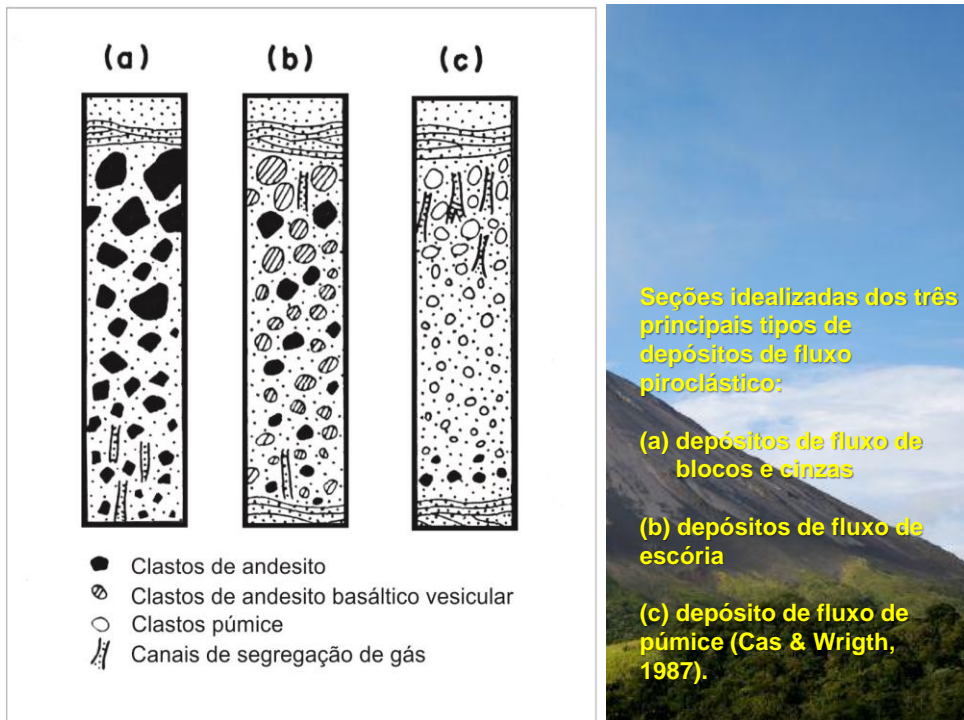
• A deposição se dá em temperaturas altas resultado em tufos soldados (*welded tuffs*)

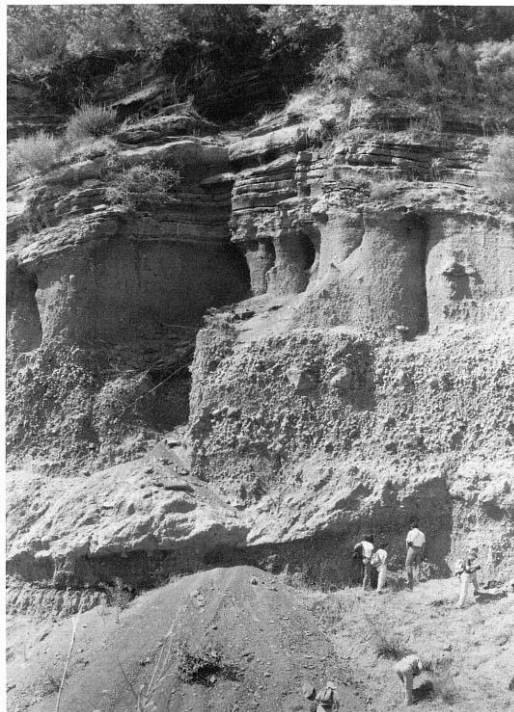
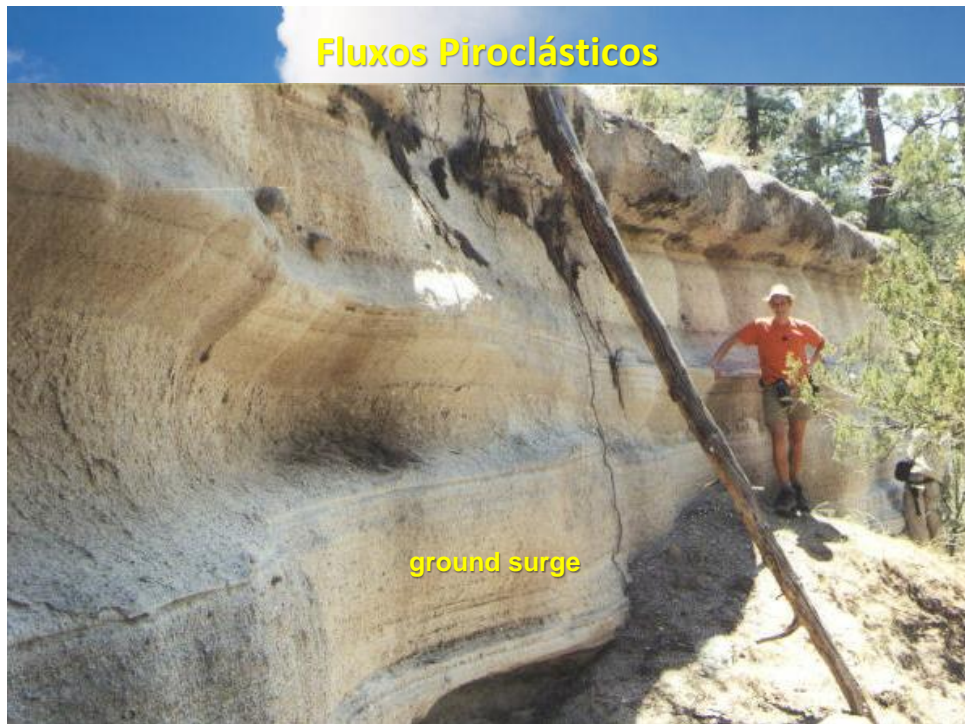
• Se depositam em baixo topográficos



USGS Photo by K.W. Larson, August 7, 1980







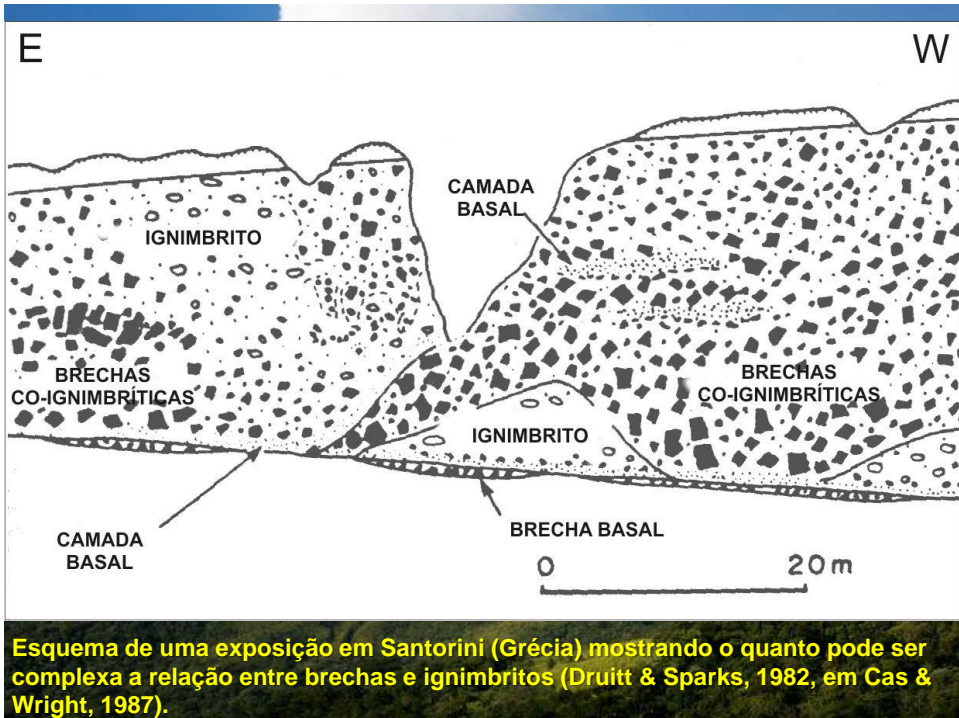
**Tufos Soldados (Welded Tuffs ou Welded Pyroclastic Flows)**



*Fiamme (clastos escuros) → Textura eutaxítica*

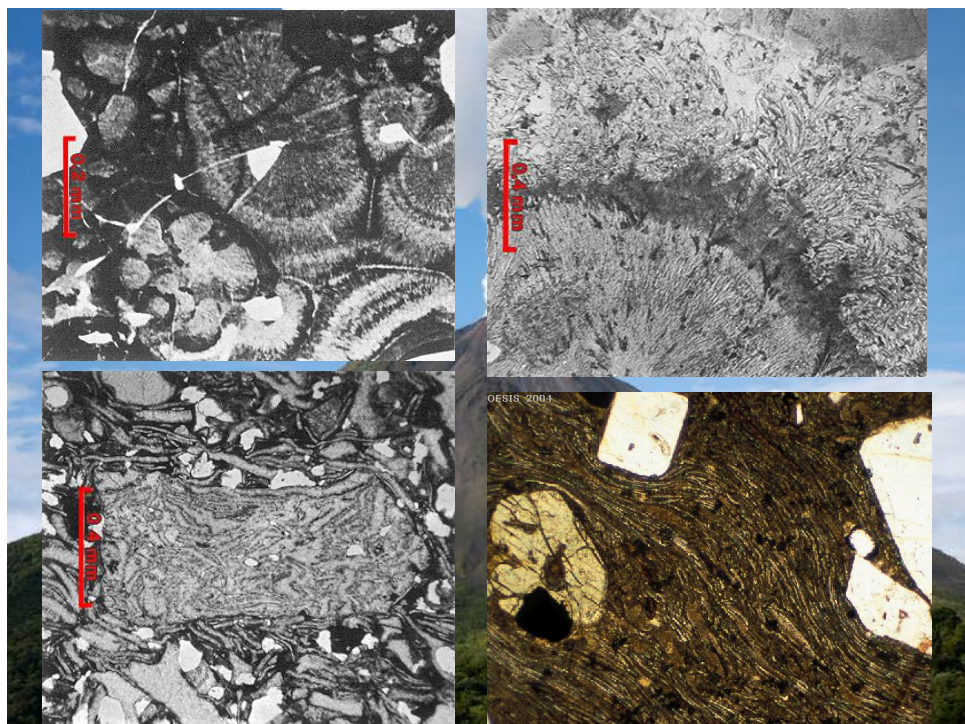
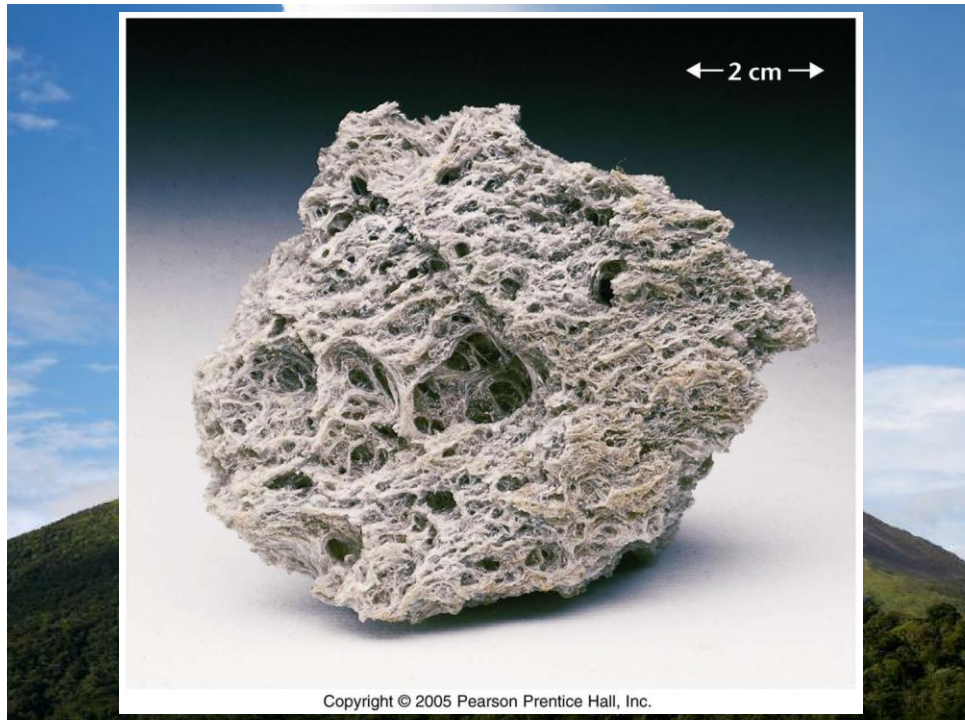
**Brechas Basais e Co-ignimbriticas (Santorini)**

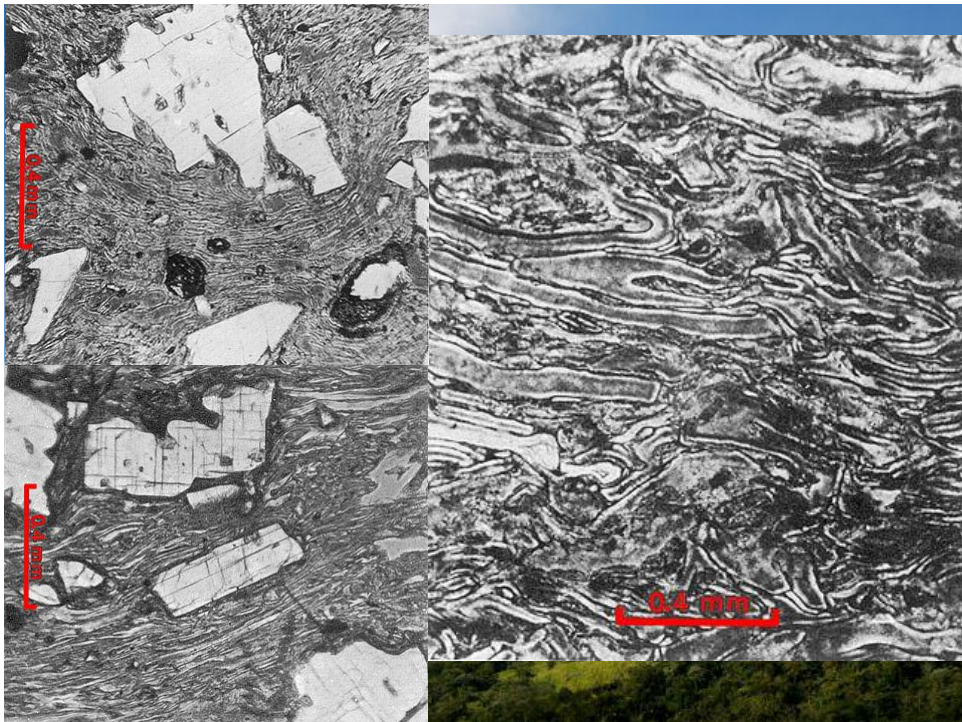




Esquema de uma exposição em Santorini (Grécia) mostrando o quanto pode ser complexa a relação entre brechas e ignimbritos (Druitt & Sparks, 1982, em Cas & Wright, 1987).



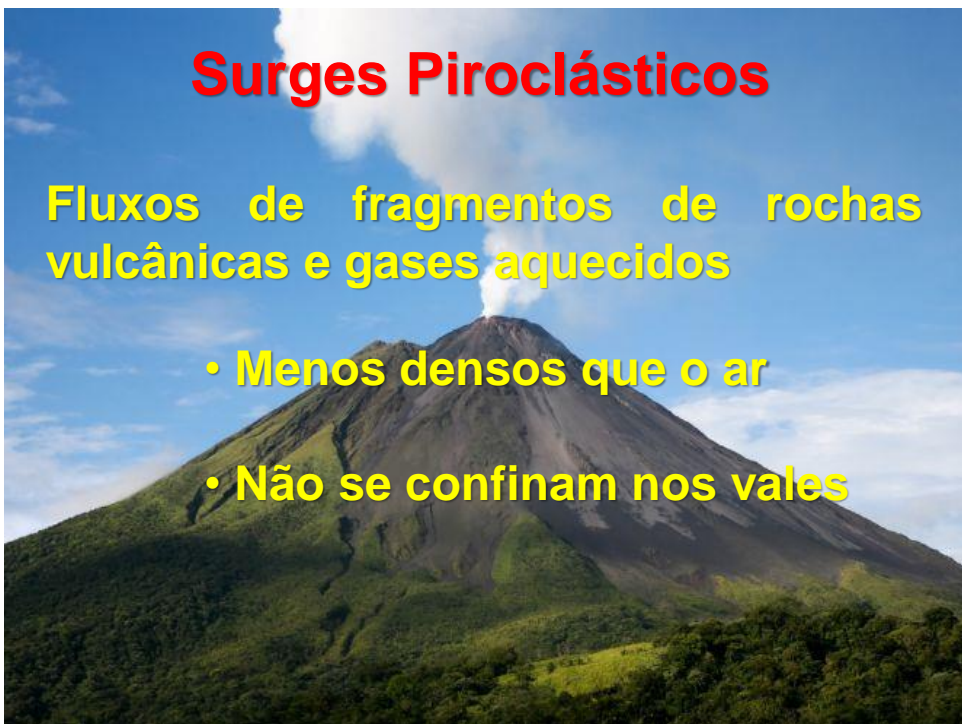


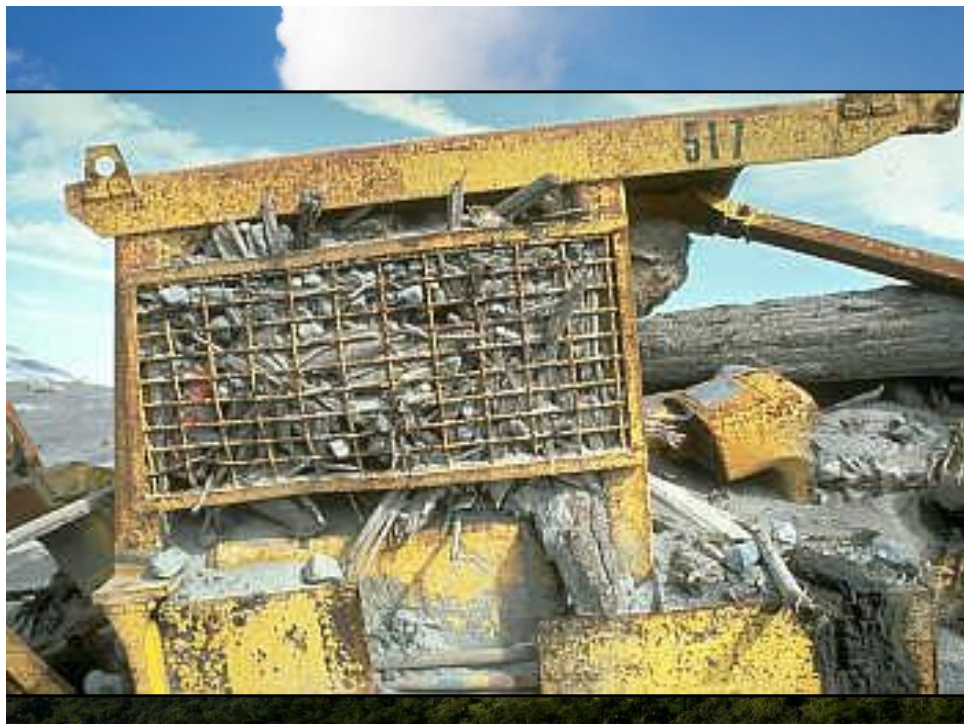


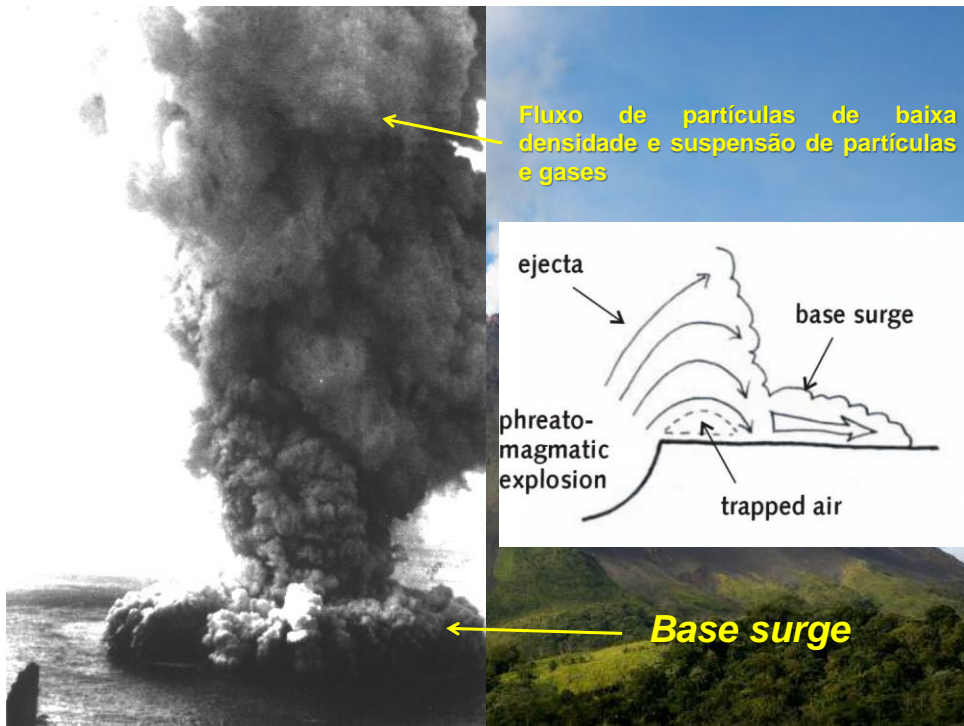
## Surges Piroclásticos

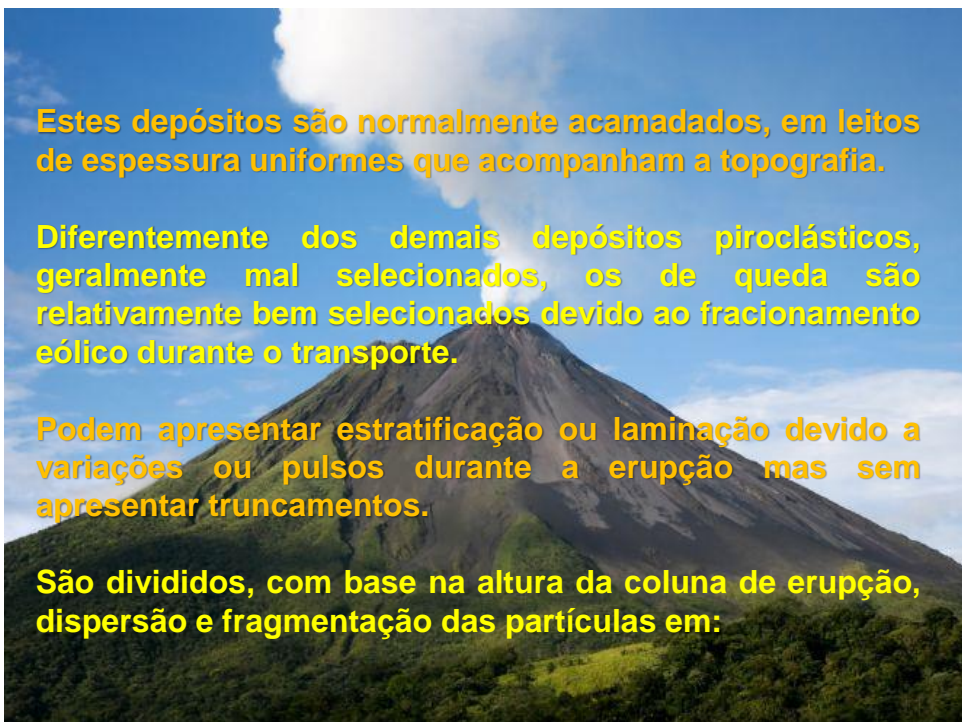
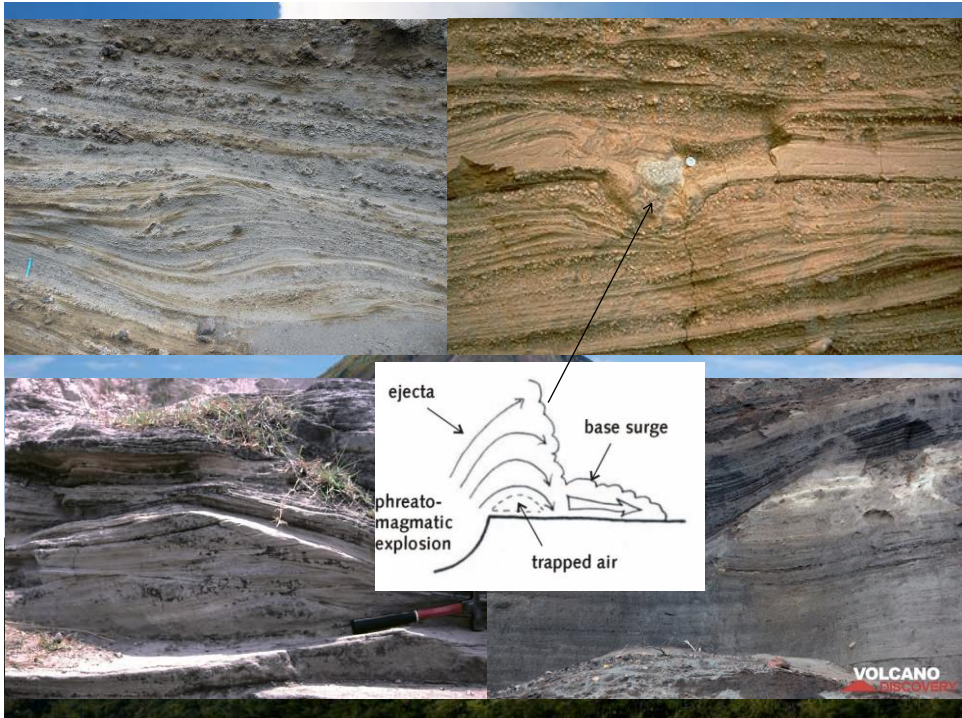
Fluxos de fragmentos de rochas vulcânicas e gases aquecidos

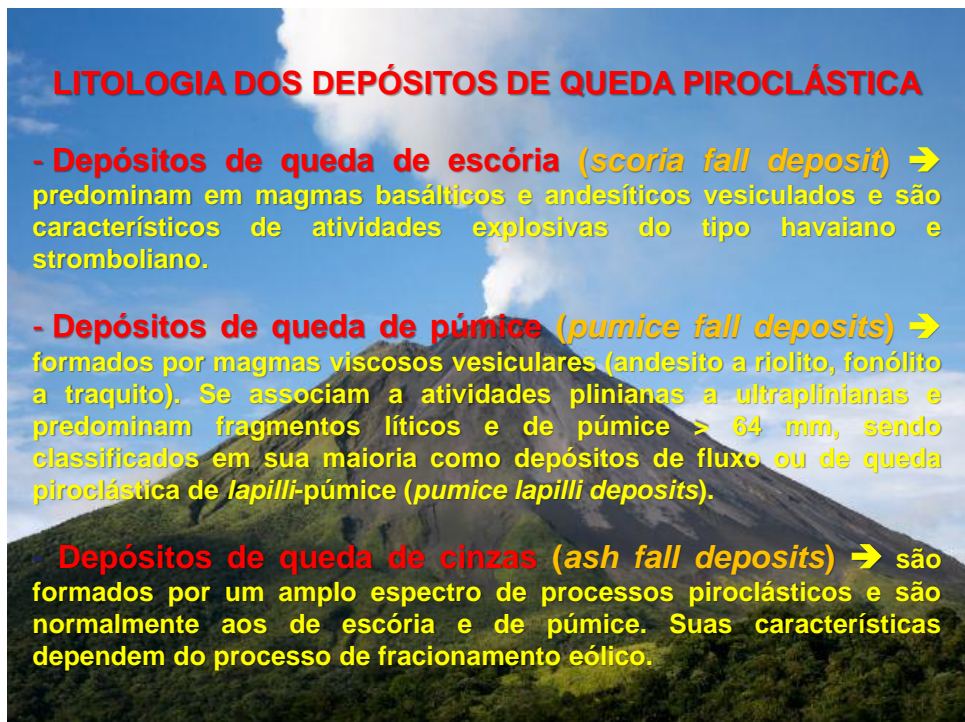
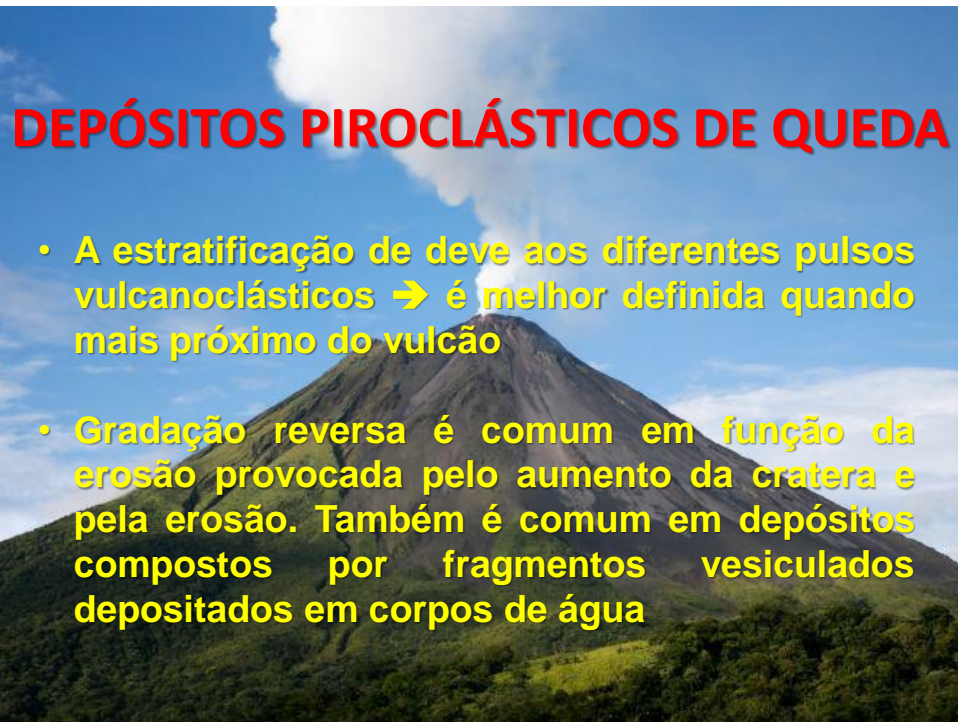
- Menos densos que o ar
- Não se confinam nos vales







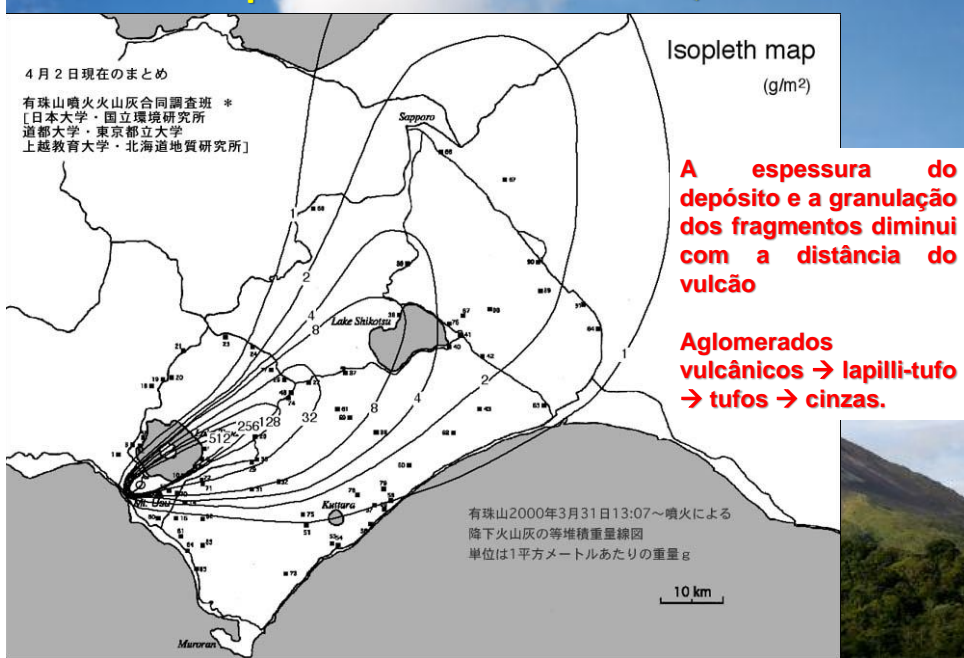


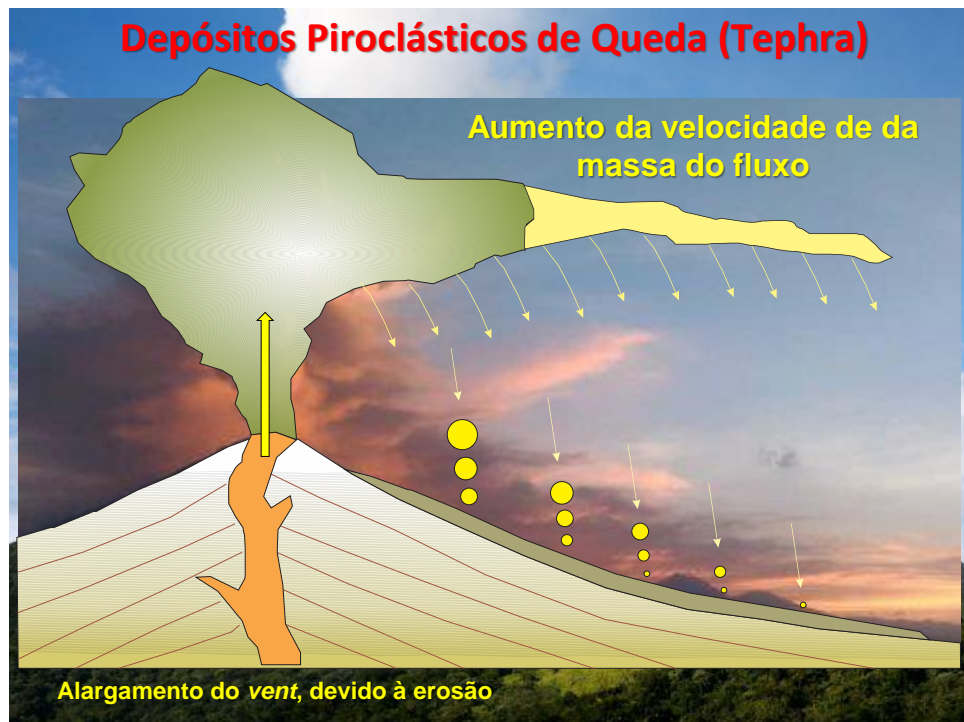
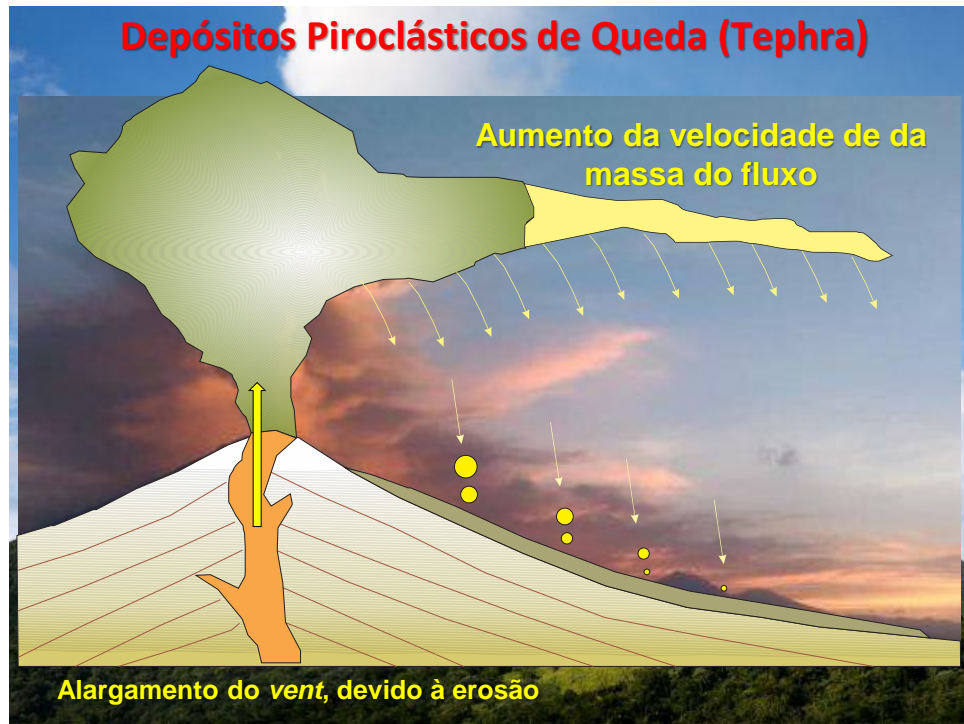


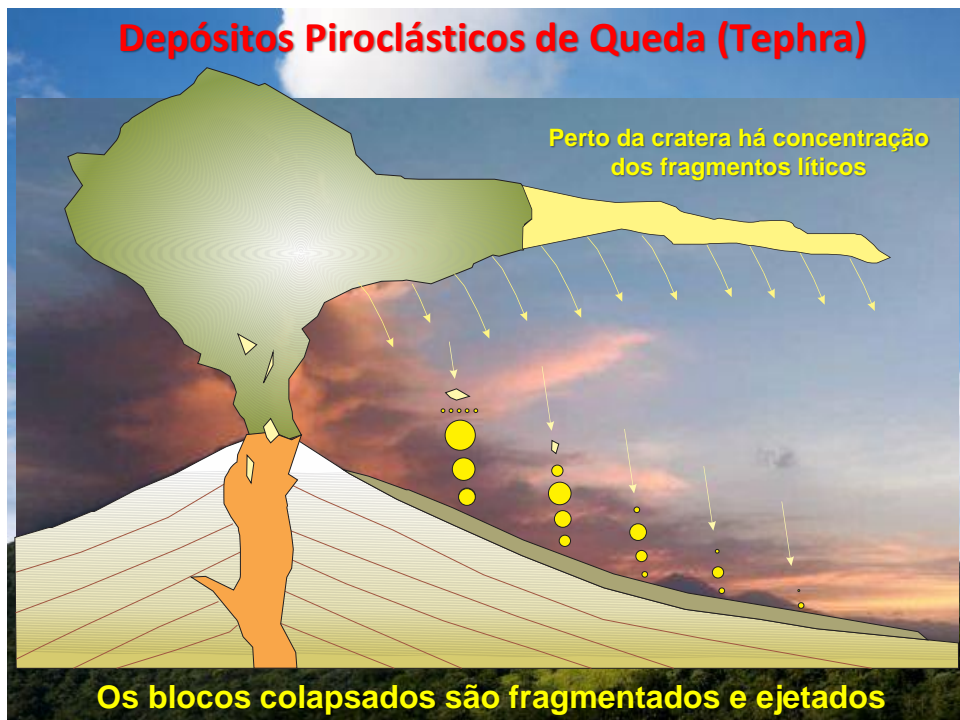
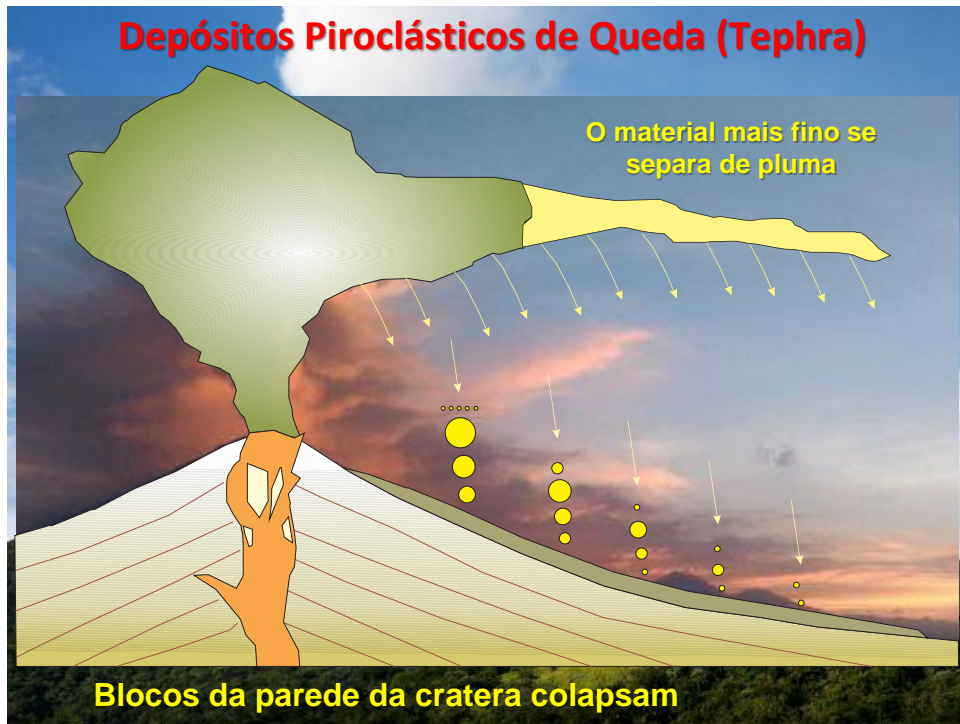
## DEPÓSITOS PIROCLÁSTICOS DE QUEDA



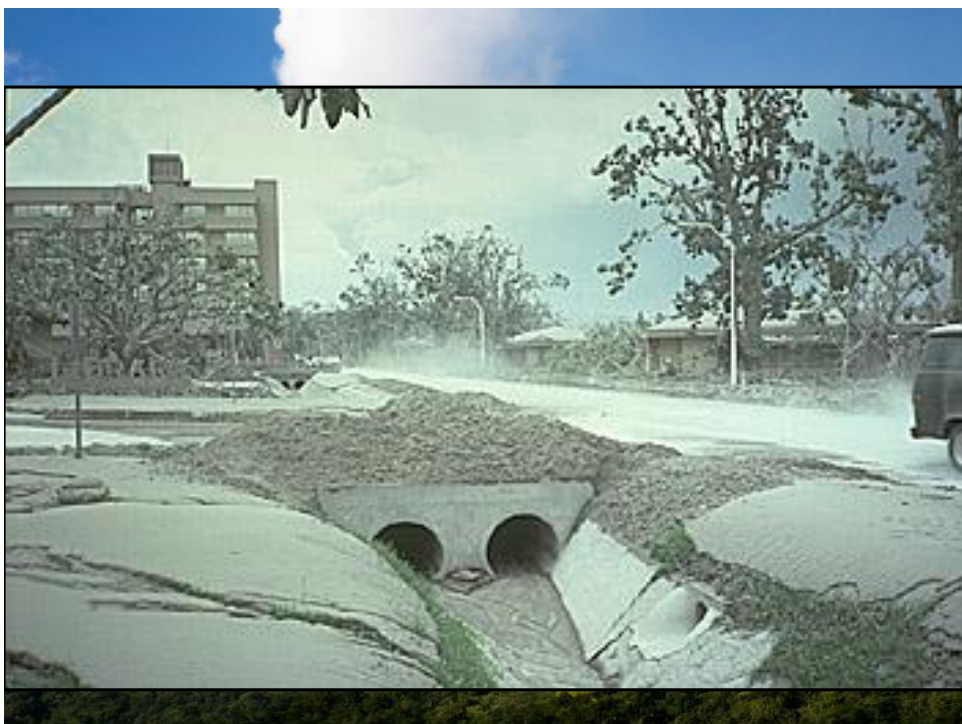
## Depósitos Piroclásticos de Queda

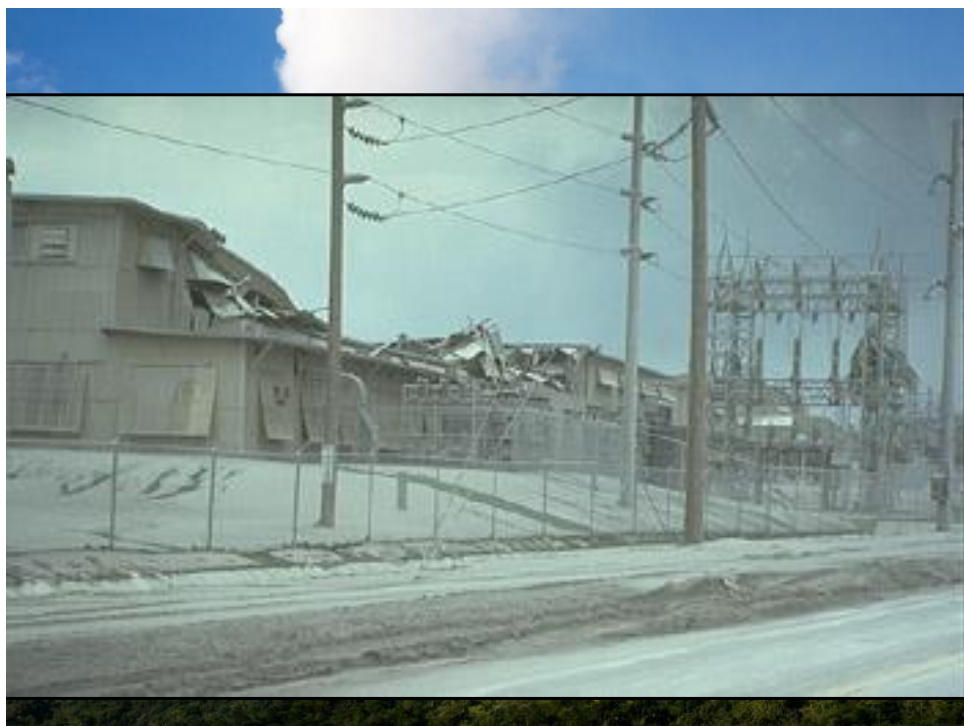


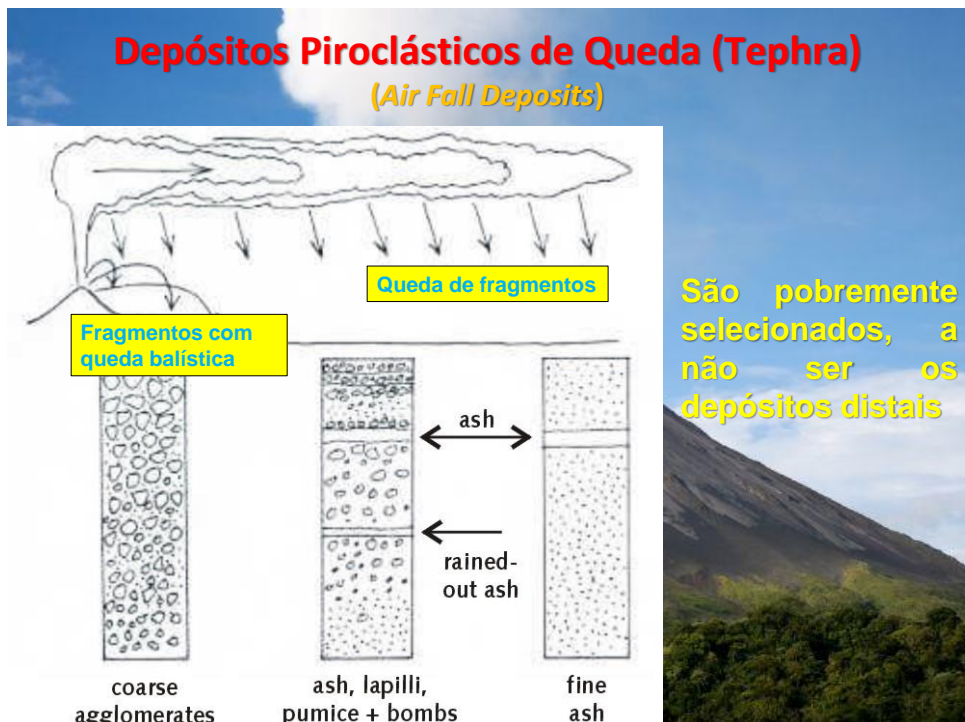


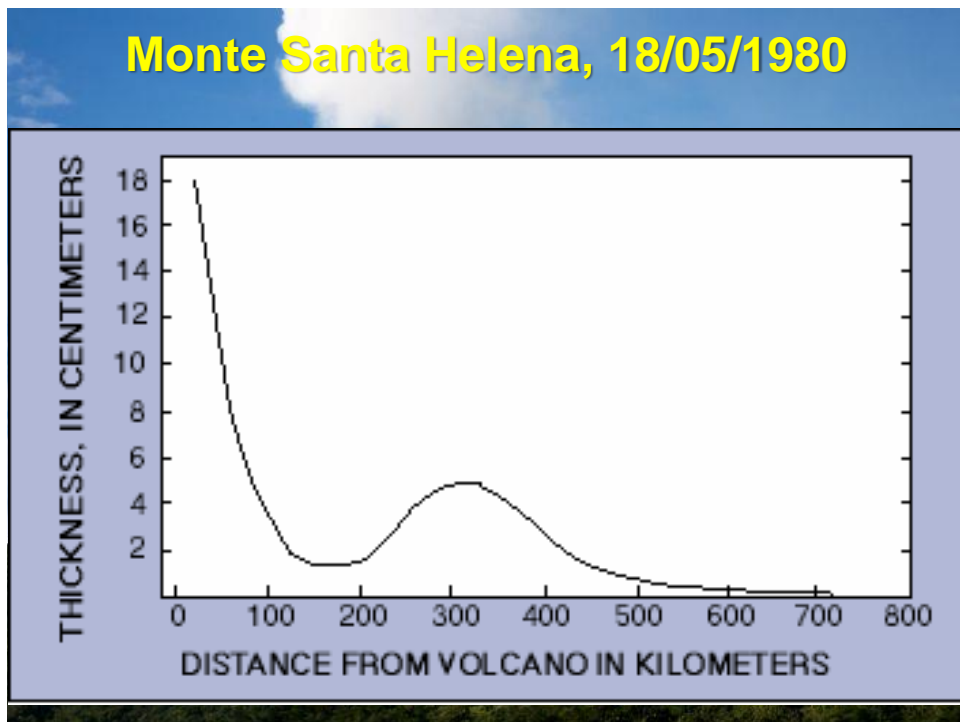
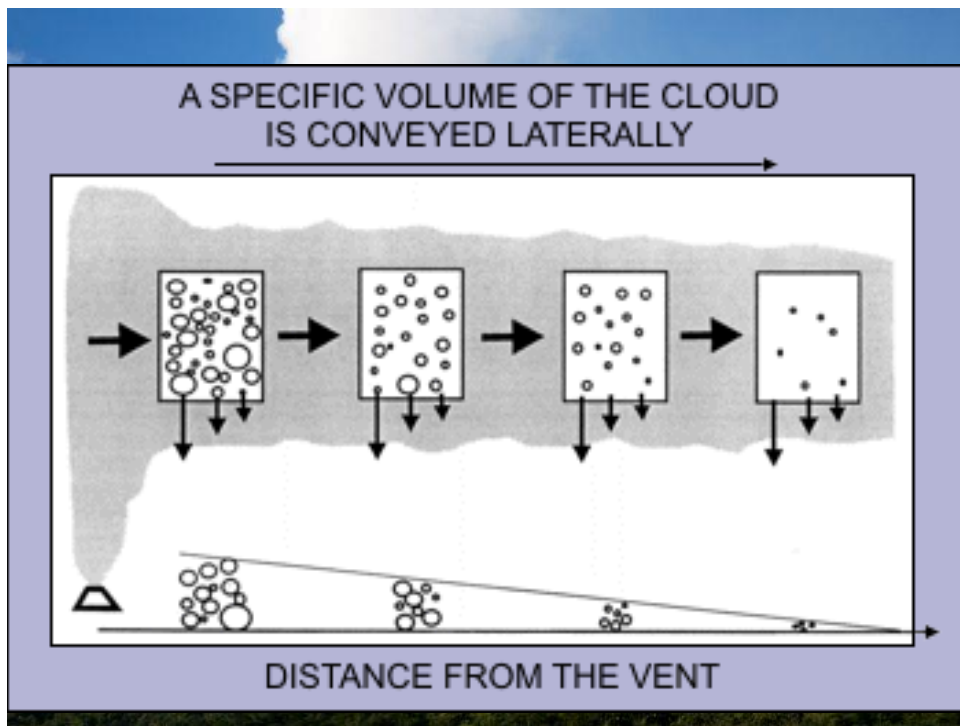




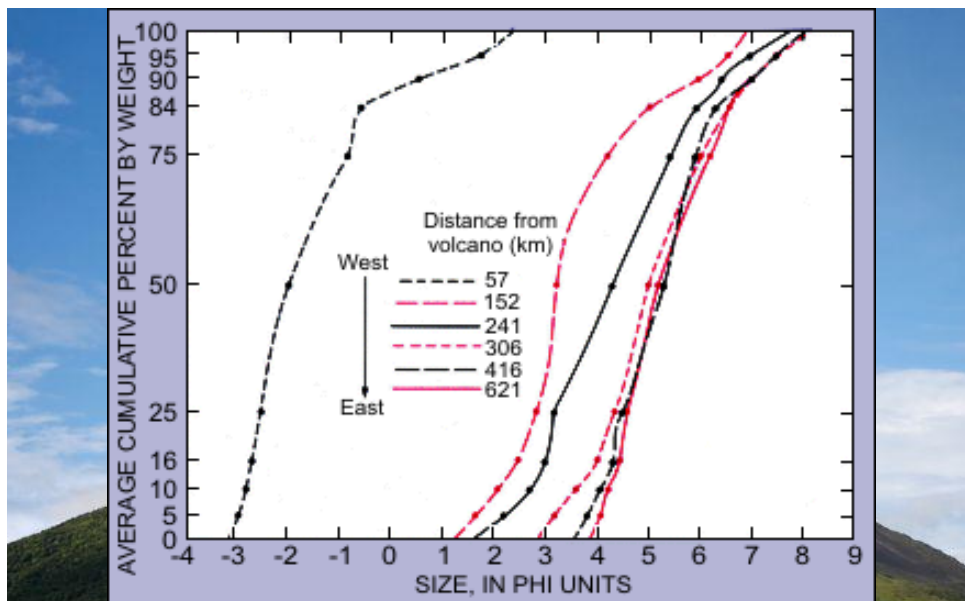
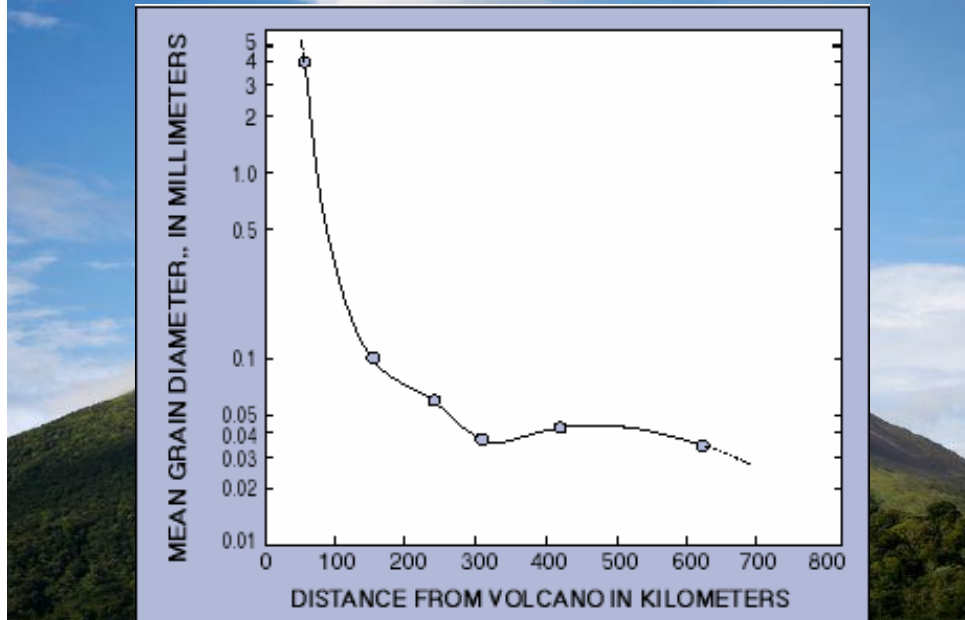








## Monte Santa Helena, 18/05/1980



Média acumulativa em % em peso de depósitos de cinzas de diferentes granulações em phi (redução da granulação pelo fator de  $\frac{1}{2}$  unidade) em relação à distância do Monte Santa Helena. As diferentes linhas correspondem às faixas de granulação em diferentes locais.

